

第43回木星会議 われわれは何を観測するのか

月惑星研究会
会長：田部一志

月惑星研究会(1959年設立) 初代会長:平林 勇さん、関西支部長:安達 誠さん、
副会長:堀川邦昭さん(OAA木土星課長)

木星会議(1974年より) 47年目 (だけど43回!)(木星の対衝(シーズン)に1回、13年に12回(サボっていない!)

各回主催地の人々が世話役、今回は月惑星研究会(関西支部)

過去には、九州、米子、姫路、和歌山、京都、富山、滋賀、神戸、大阪、名古屋、静岡、横浜、川崎、三鷹、科博、
オリ青センター、品川、お茶の水、仙台、宇都宮、山形、旭川など

観測対象 惑星(表面の大気現象)～なんでも

観測方法 スケッチ、CMT(木星)、写真(銀塩)、ビデオ(webcam)、合成画像(さまざまな技術開発)

観測波長 可視(RGB)、IR、UV、メタン(890nm)

活動:観測結果のHP上への公表 (世界的に高い評価)とアーカイブ、大気現象の解析(世界的に高い評価)

観測技術の開発

(もしかしたら今が全盛期なのかも知れない)

資金:個人の活動の集合体ゆえ公にはほとんど0

同業者(ライバル) ALPO(米)、BAA(イギリス)、スペイン、JPL、その他

存続:会員の高齢化により危ぶまれている。 長所・欠点:一騎当千、会員が一匹狼的??

観測の楽しみ

- 1 よく見えた
- 2 珍しい物が見えた
- 3 スケッチできた
- 4 良く写った
- 5 珍しい現象が写った
- 6 動きが分かった
- 7 変化が分かった
- 8 変化が解明できた
- 9 未知の現象が分かった

解析の楽しみ

- 1 変化が分かった
- 2 変化が解明できた
- 3 過去の事例と類似した例を見つけた
- 4 未知の現象が起こった

解析手法

- 1 並べてみる
- 2 展開図
- 3 ドリフト(移動)チャート
- 4 自転周期、風速への換算
- 5 長期間の変化
- 6 色の変化

木星観測の歴史

1600年台から 天体望遠鏡による眼視観測(ガリレオ、マリウス)

1800年代末 アマチュアが活躍

1900年代 アマチュアが大活躍(~1970年台)

1960年代から +写真(写りは悪い!)

1973-74年 初めての探査機(パイオニア10,11号) フライバイ

1979年 ボイジャー1、2号(フライバイ) (風速の精密測定)

1994年 Hubble Space Telescope(HST) (SL-9)

1995年 ガリレオ(オービター)、プローブ

2000年 カッシーニ(フライバイ)

2002年 Web-Camera+Registax(革命的だった)

2010年 微小天体の衝突現象

2016年 ジュノー(オービター)

大気現象

- ・色(濃さ)の変化
- ・風の変化
- ・渦の発生、消滅
- ・突発現象(攪乱等)
- ・(電波)

外的要因

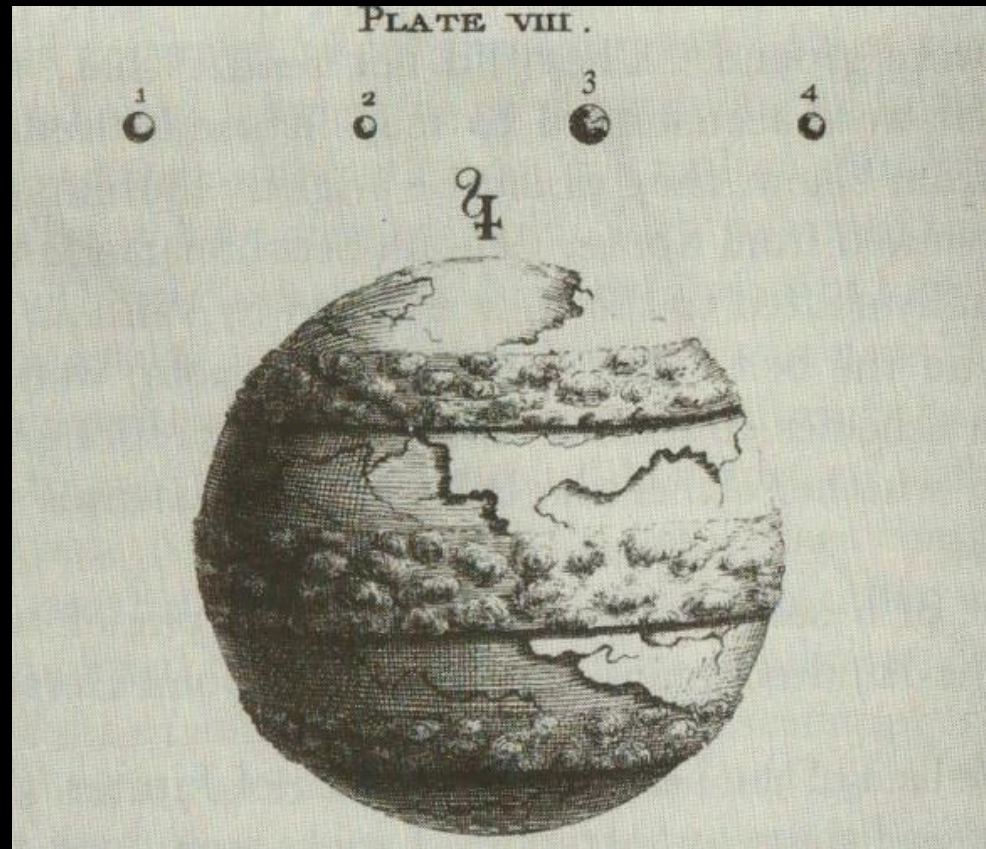
- ・天体衝突

成因

衛星

組成

Thomas Wright 1711

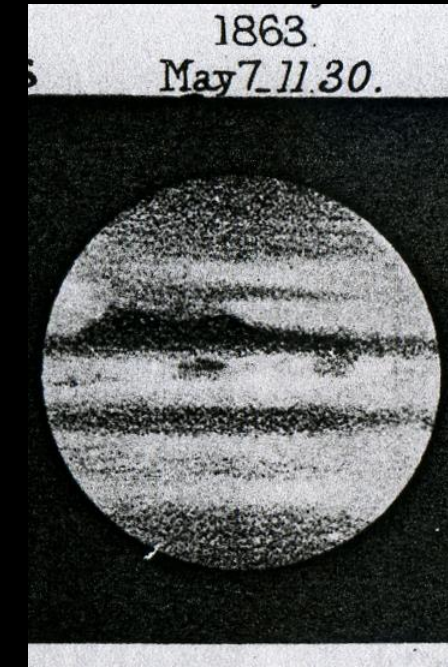


地球のような惑星に帯状の雲



木星は見た目より軽い！

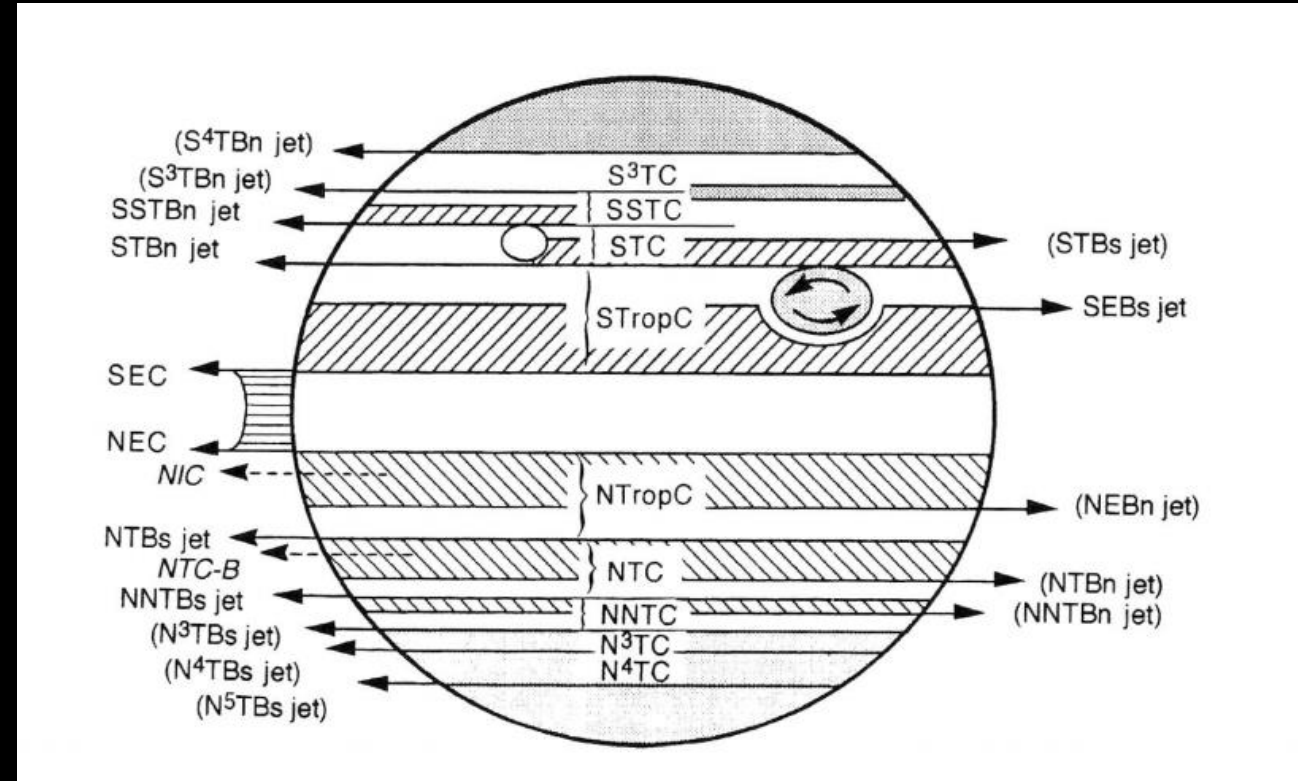
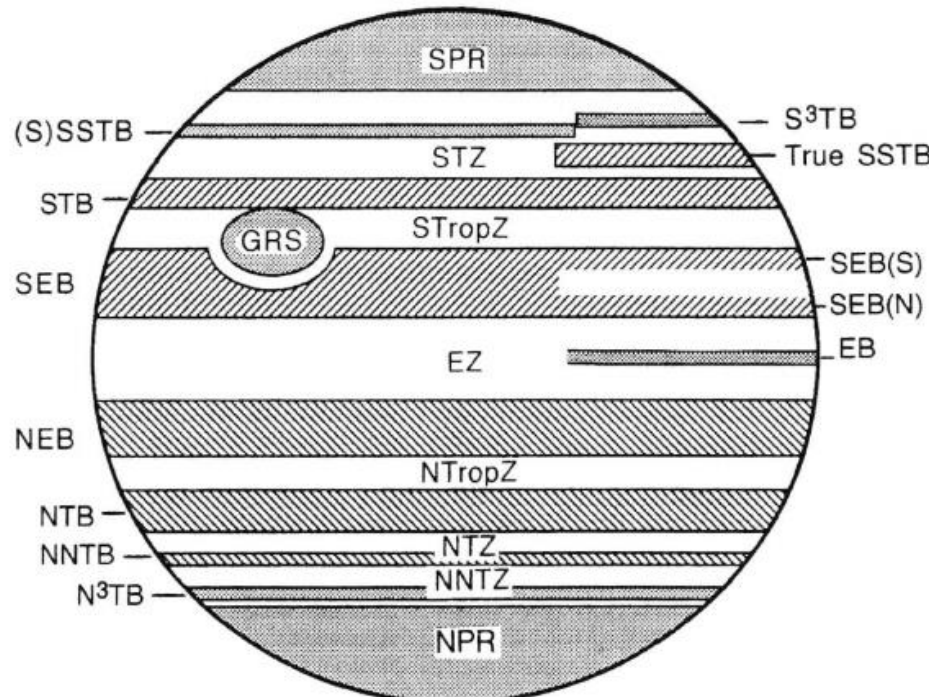
ガス惑星
ハーシェル、シュレーター、
ベアとメドレル。。。。



Nathaniel Greenのスケッチ

暗いところ=ベルト(縞)
明るいところ=ゾーン(帶)

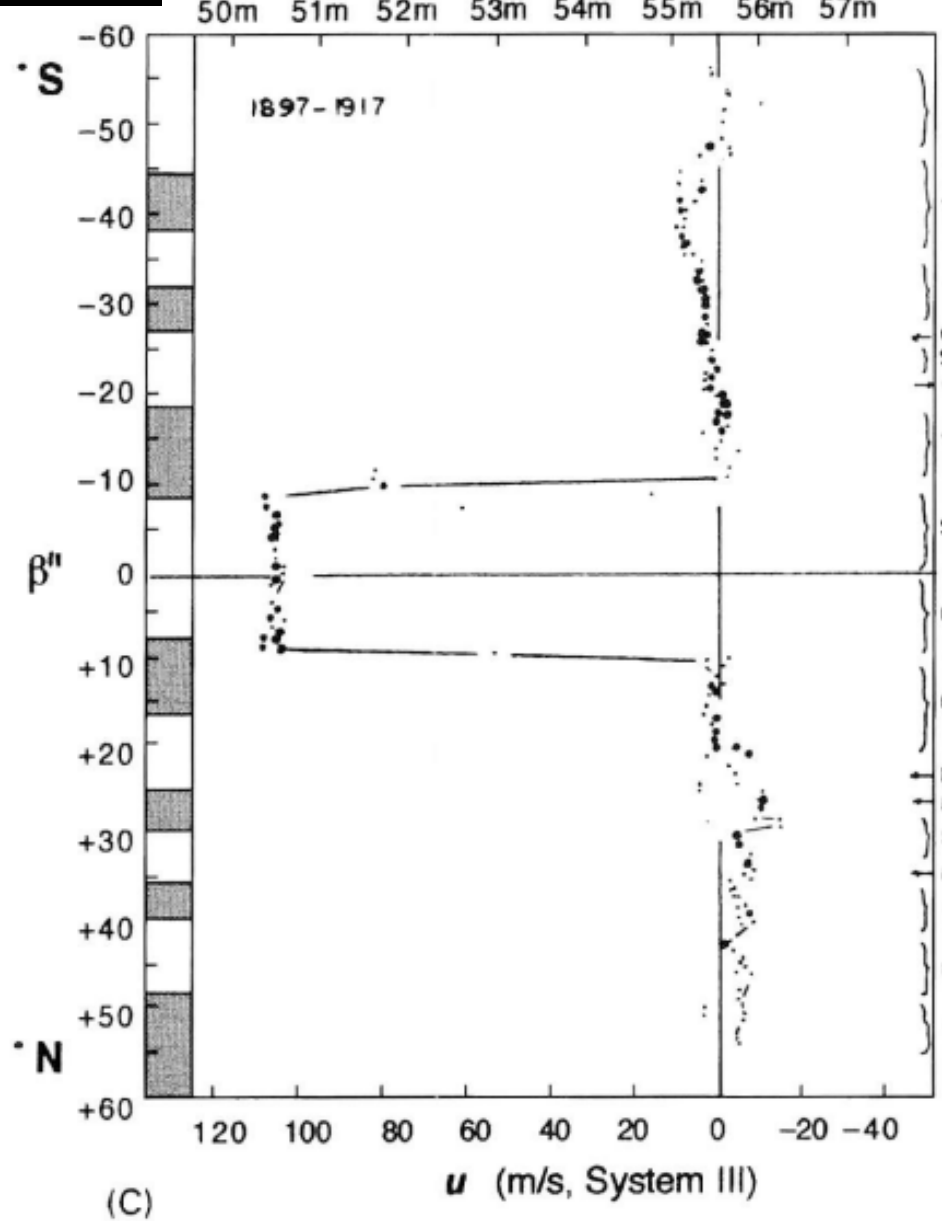
木星の経度と自転周期と風速



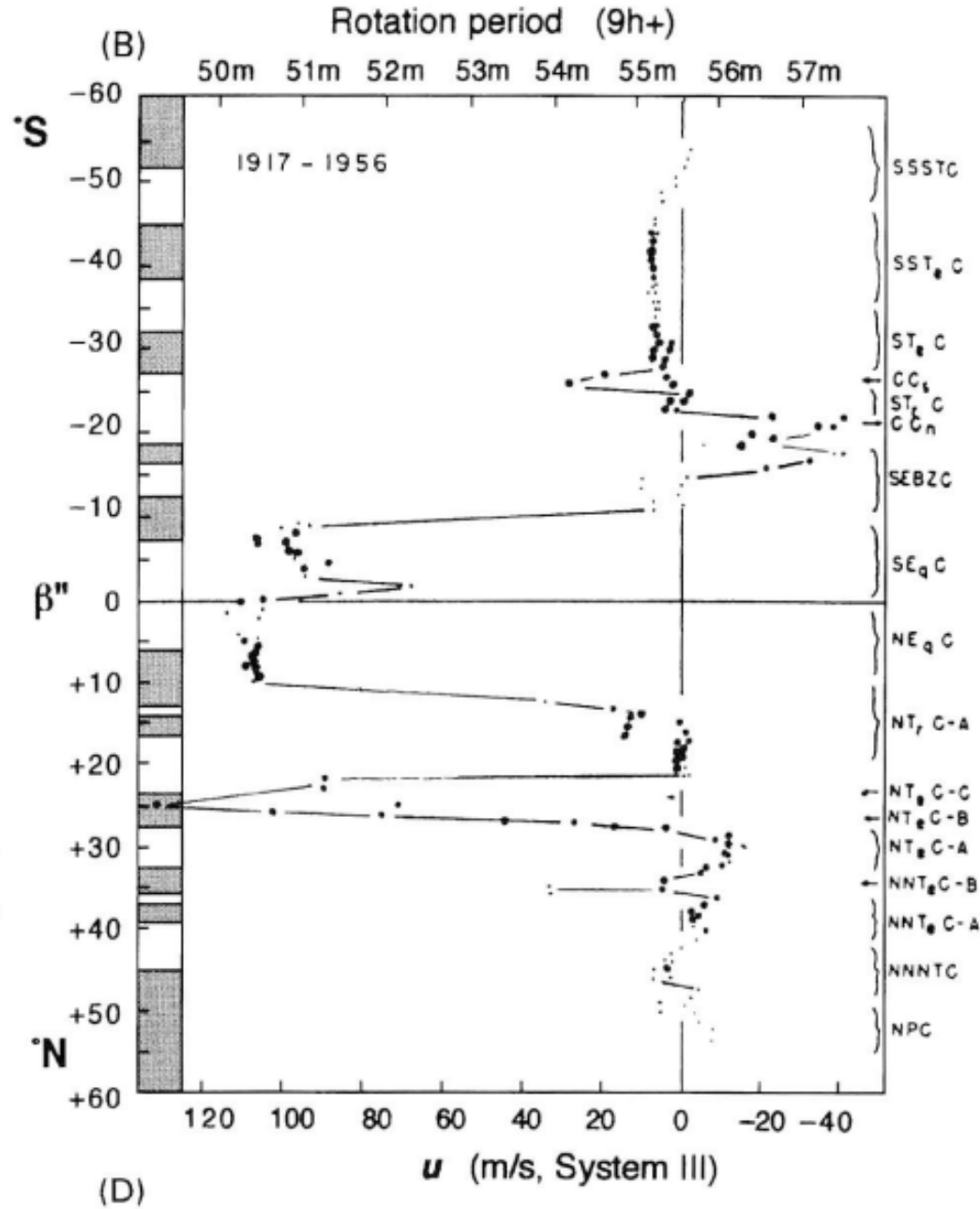
Rogers 1995 The Giant Planet Jupiter
BAA流の命名、他の流儀を駆逐

風速と自転周期

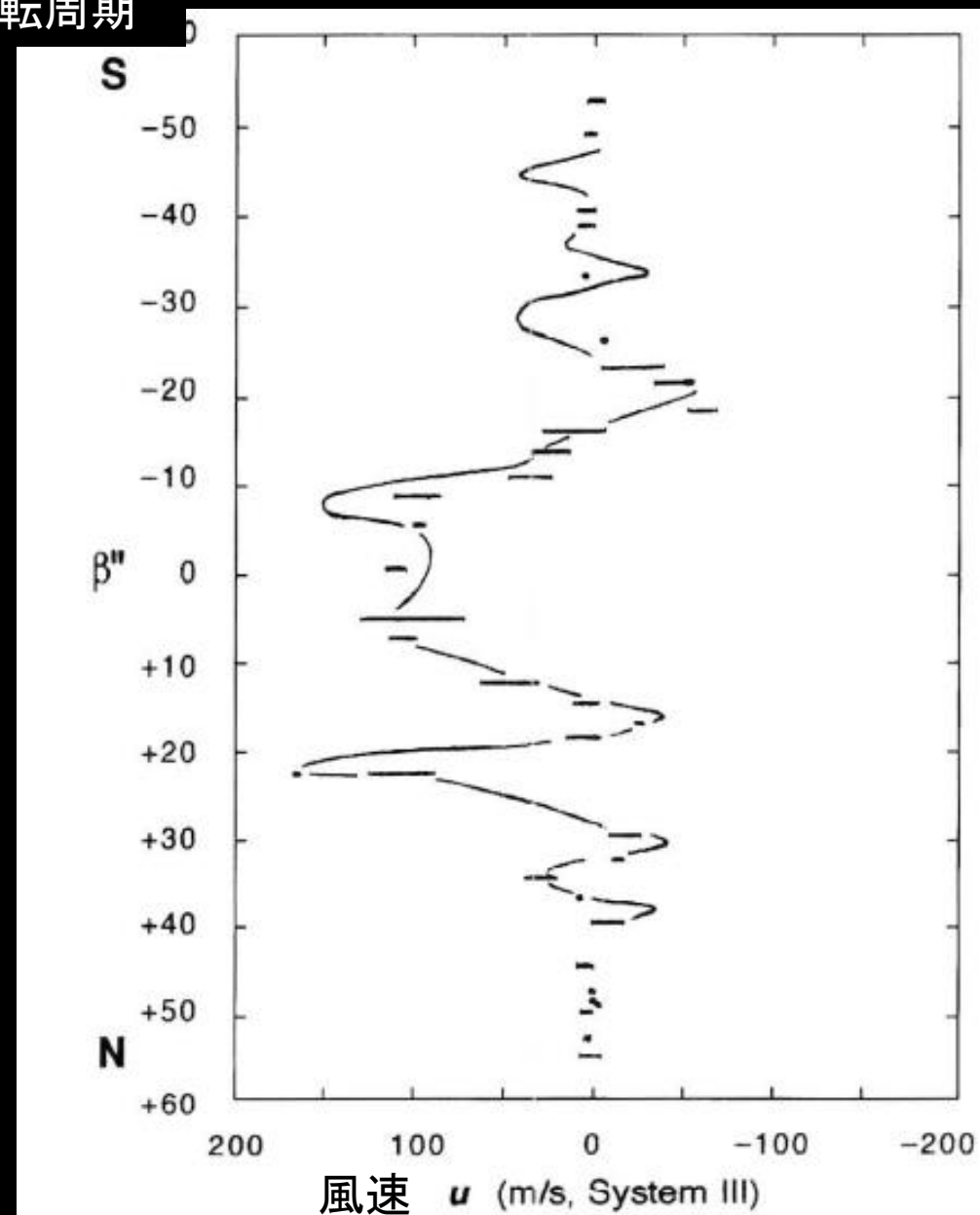
Rotation period (9h+)



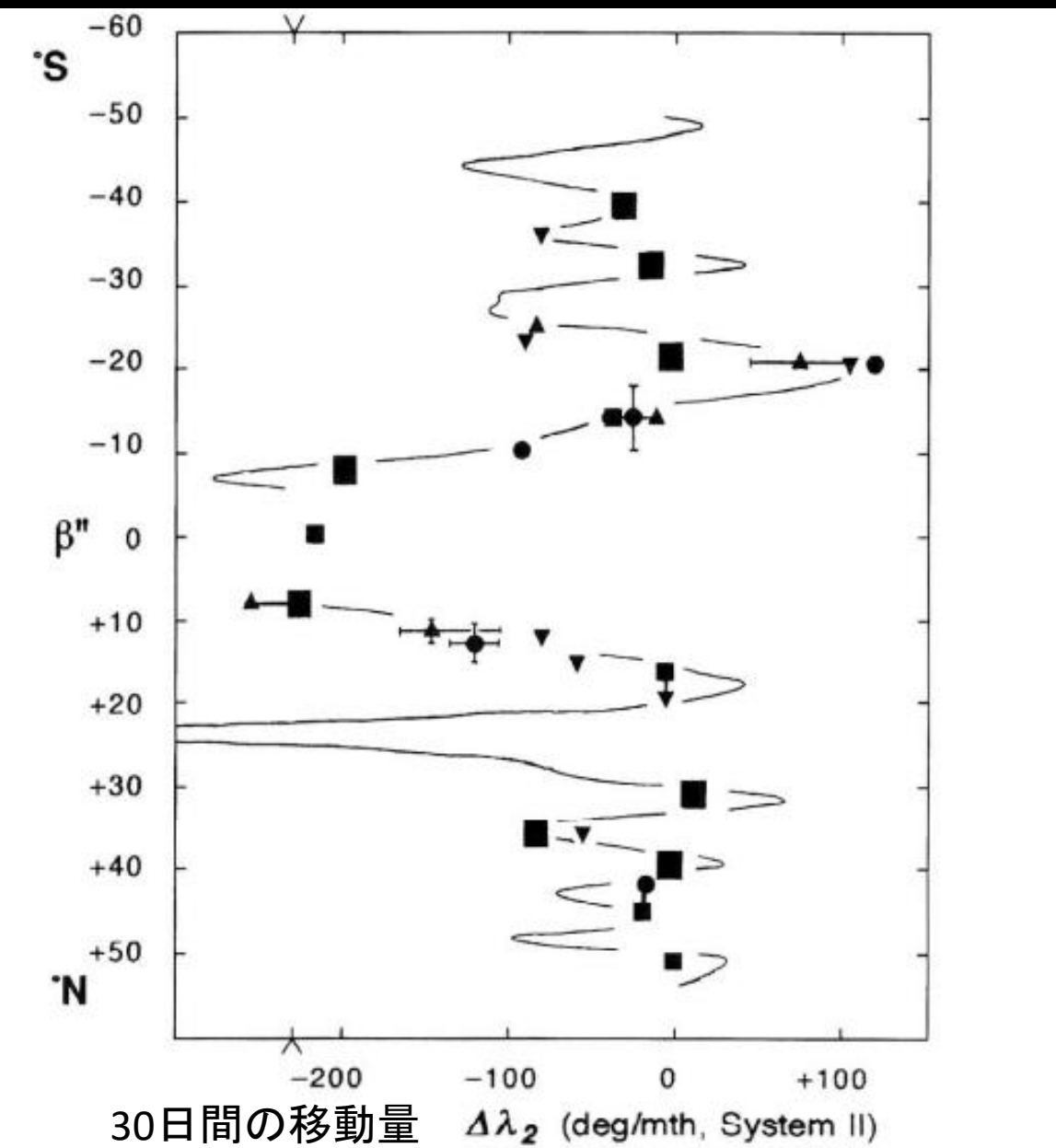
Rotation period (9h+)



風速と自転周期



New Mexico State University 1964-1978



Voyager 1979 とBAAの比較

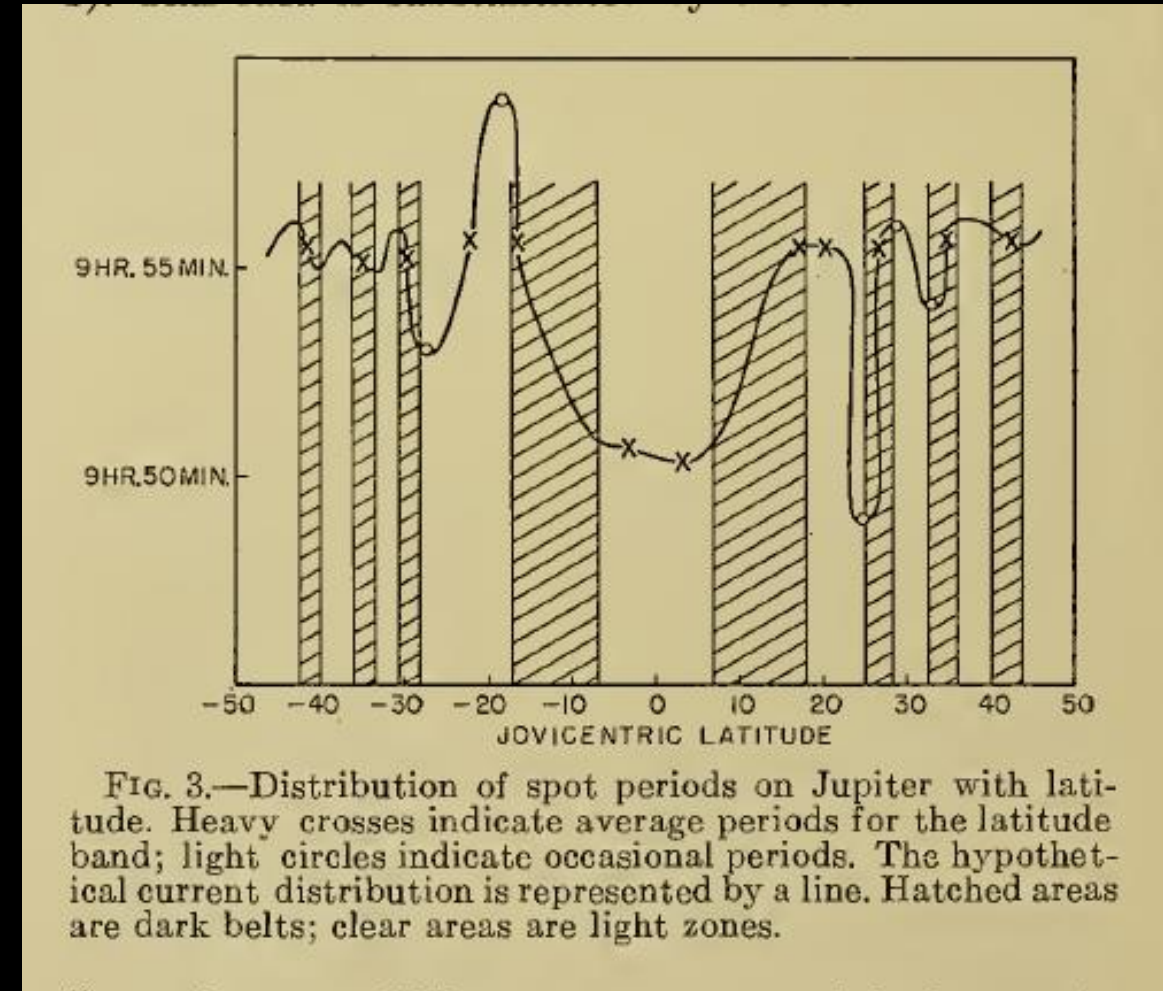


1 力学(風速)の系統

1950年頃
縞-帯の最初の気象力学的アプローチ



1952年 The Planet Jupiter ,Peek(1958) 口絵



Hess and Panofsky (1951) より



Hess,S.

Ephemeris for Physical Observations of Jupiter, 1891. By A. Marth.

Greenwich Noon	Angle of Position of J's Axis. P	Corr.			Light- time. m	$\Delta - \alpha$	β	Longitude of J's Central Meridian.		Corr. for Phase.	Apparent Diameter.		
		L-O.	Diff.	B of log. Δ .				(877°.90)	(870°.27)		Equat.	Phase.	Polar.
April 1891.	335°.765	203°.513	391	+ 1°005	-								
	.714	203°.904	386	1°026									
	.665	204°.290	380	1°046									
	.618	204°.670	374	1°067									
	.572	205°.044	368	1°087									
	335°.528	205°.412	361	+ 1°108	-								
May	.486	205°.773	354	1°128	β			I.	II.				
	.445	206°.127	348	1°148									
	.406	206°.475	340	1°168									
	.369	206°.815	332	1°188	1930			216°.99	32°.64	+ 0°.32	3°		
	335°.333	207°.147	325	+ 1°207	-								
	.299	207°.472	318	1°227	3022			172°.52	332°.91	*34	3°		
1891.	.266	207°.790	309	1°246									
	.235	208°.099	301	1°265	3115			128°.06	273°.19	*36	3°		
	.206	208°.400	292	1°284									
	335°.178	208°.692	283	+ 1°303	-								
	.151	208°.975	275	1°322	3207			83°.61	213°.47	*37	3°		
					2000			200.00	200.00	200.00	200.00		

木星の経度

体系	24時間あたりの自転率	自転周期
第1系 (System I)	877.90 (deg/day)	9h50m30.003s
第2系 (SystemII)	870.27 (deg/day)	9h55m40.632s
第3系 (SystemIII 1965)	870.536 (deg/day)	9h55m29.711s

1系は主に赤道地方、2系は主に中緯度以上地方に適合(例外:NTCurrent-C)
場合によっては、任意の自転率の特殊経度を使うこともある(極端に速く移動する模様の場合)

補正項

木星が地球に対してどっちの方向にあるのか？ 光行差 欠けた部分 時計の狂い(DT-UT=70秒?)
(全面 full disk, 輝面 illuminated disk) 測定の時には重要！

木星面の風速 第3系に対する風速 (m/sec)

個々の模様 大赤斑(1831-)

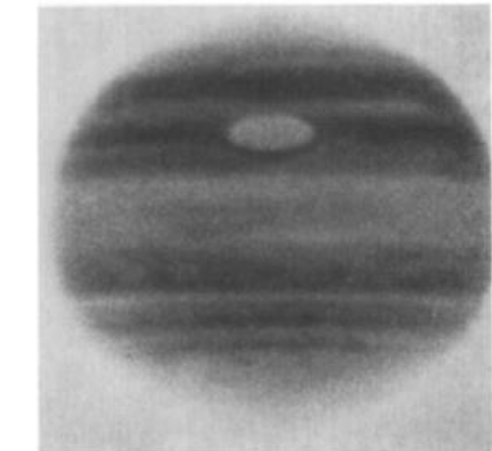
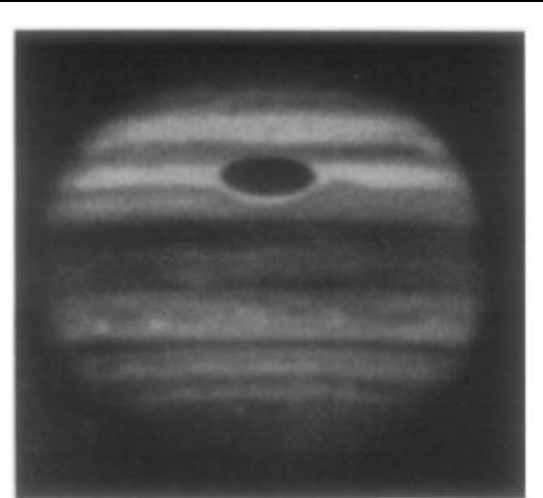
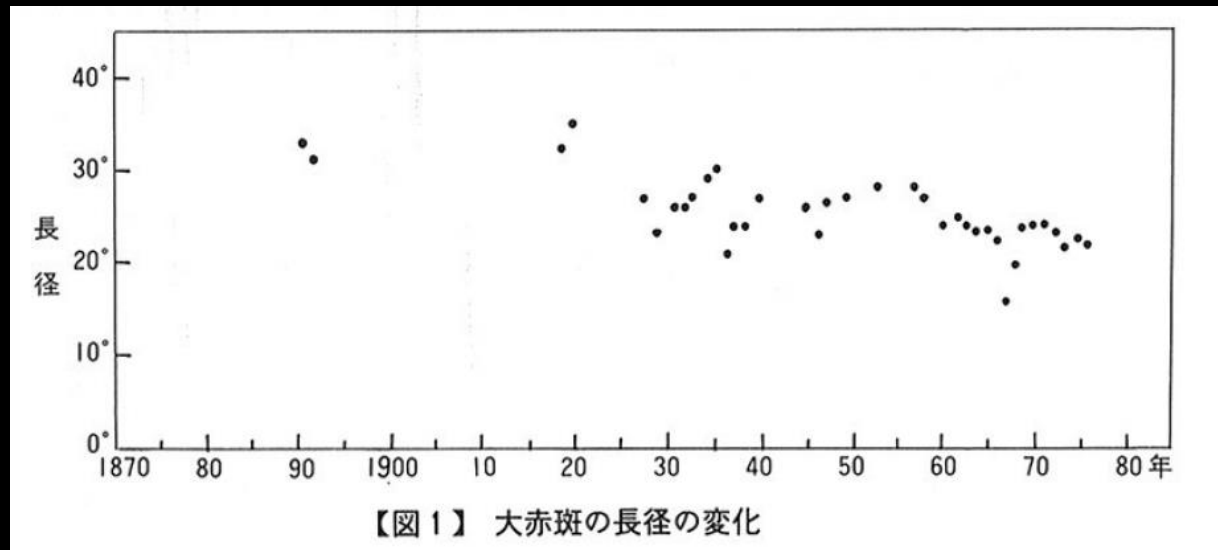
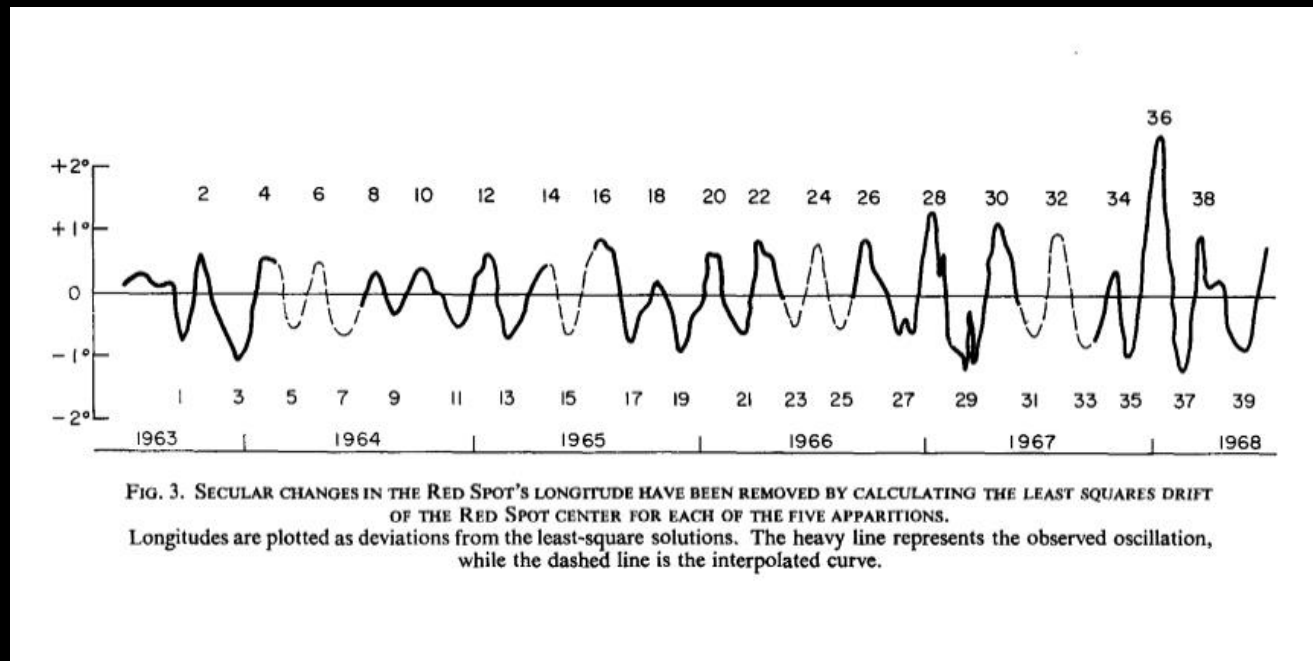


FIG. 3. Positive and negative prints of Jupiter in blue light, 23 October 1964, 0901 U. T., $\omega_2 = 19^\circ$. The positive print is a composite of three images. The negative print was made from a single image. In preparing the negative prints for this and the following figure, an attempt was made to reproduce the photographic image much as it appears on the original plate.

Reese 1964



2018年
1980年代の半
分くらいの大き
さ



Solberg 1969 90日周期の経度方向の振動

個々の模様 永続白斑



1952年10月24日 Palomar

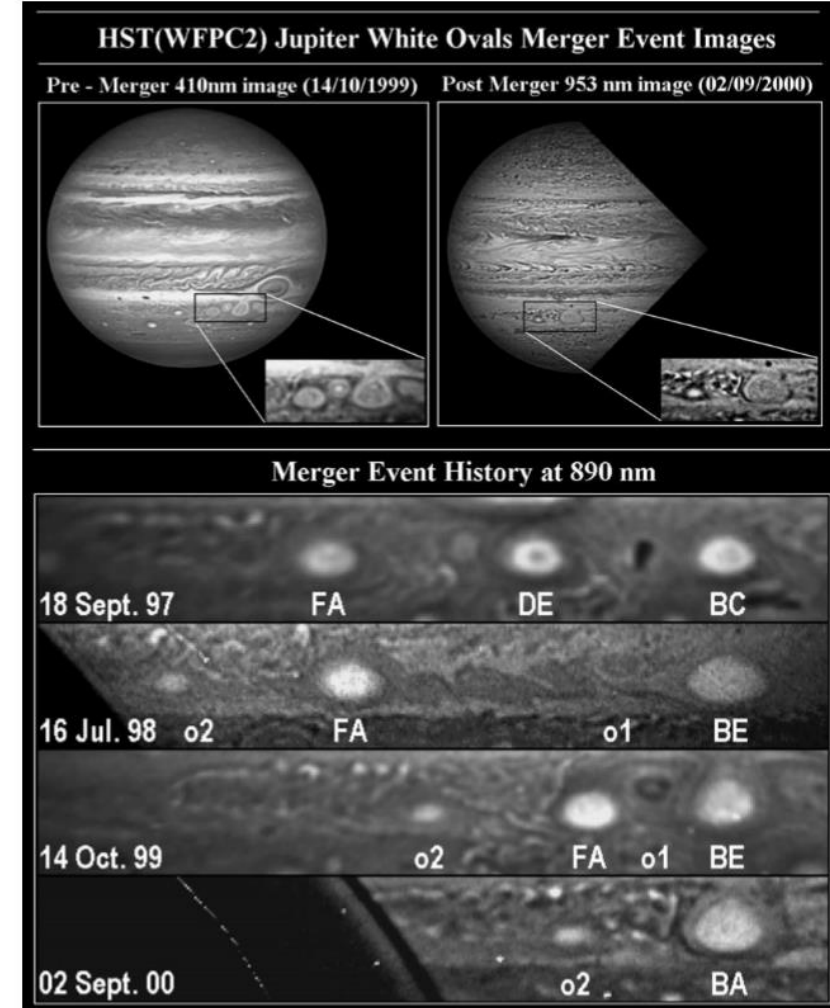
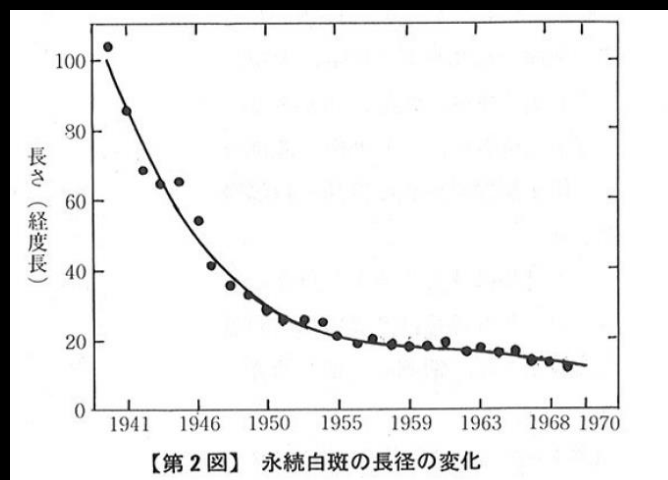
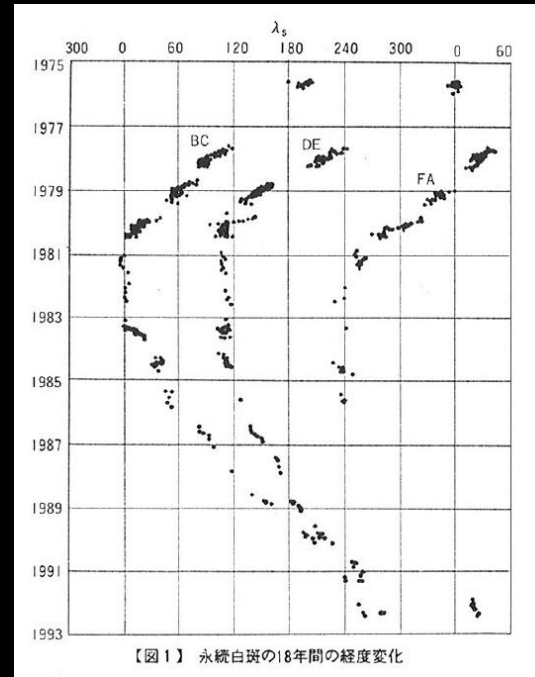
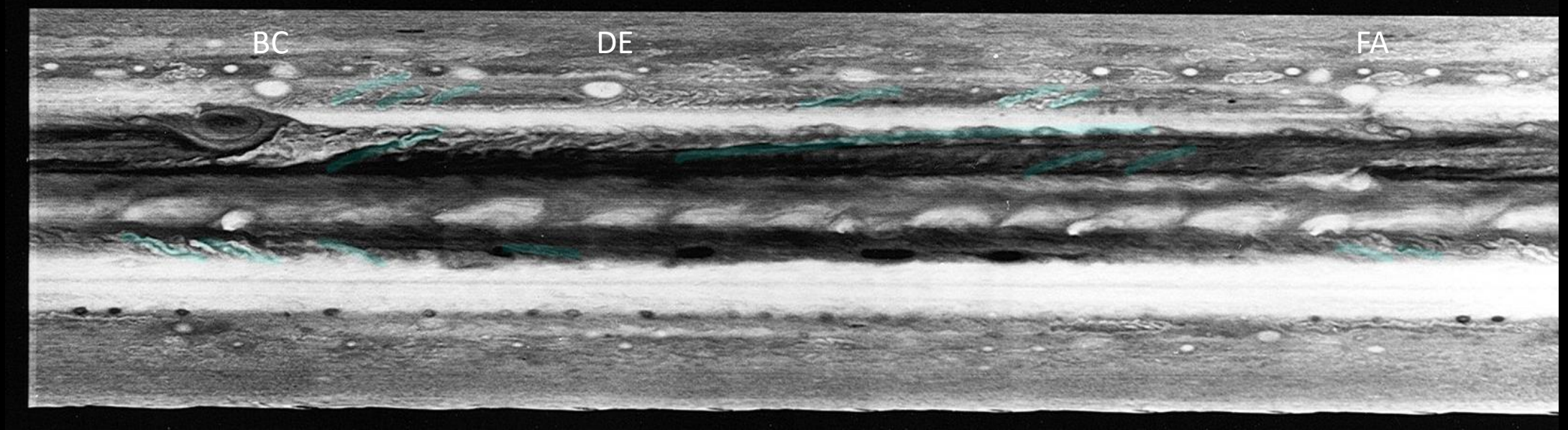
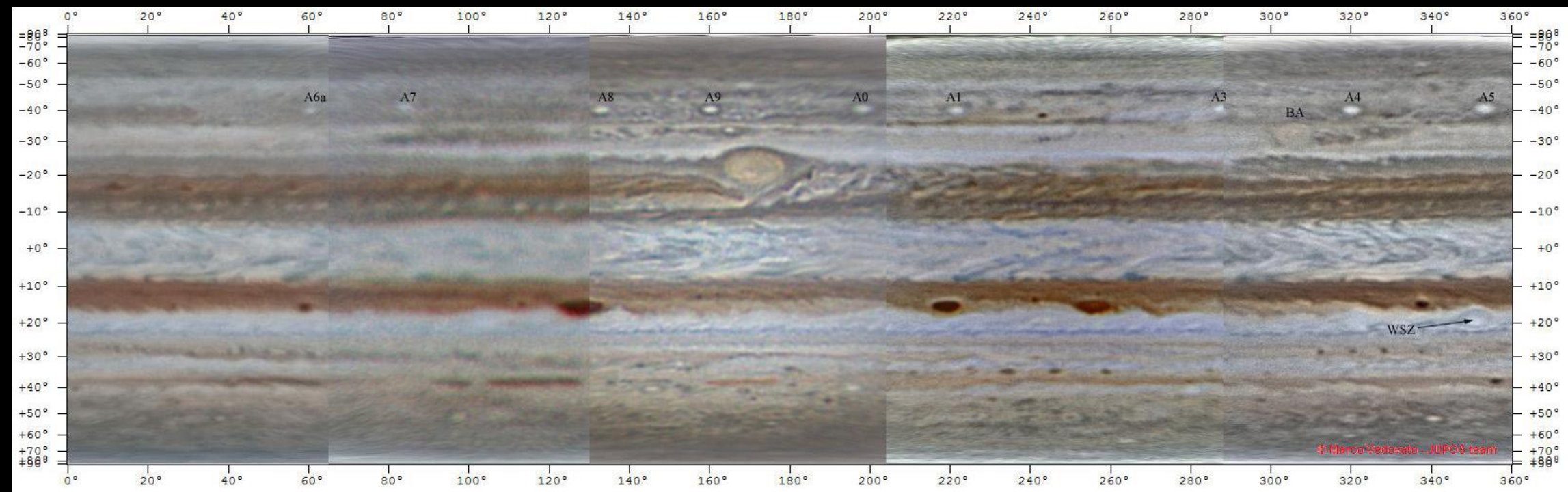


Fig. 1. Hubble Space Telescope images of Jupiter's White Oval anticyclones. Upper left: blue-filter image (419-nm) showing the ovals FA, the cyclone cell and BE (from left to right in the inset). Upper right: red-filter image (953-nm) showing the final oval BA in the inset. The lower image shows the progressive evolution from three ovals (FA, DE, BC, upper shot), to two (FA, BE, two middle shots) and finally to one single oval (BA, lower shot). This series was taken with a 890 nm methane band filter.

1979 V1



2011
Vedvato



2000年 土星へ向かうCassiniが撮影



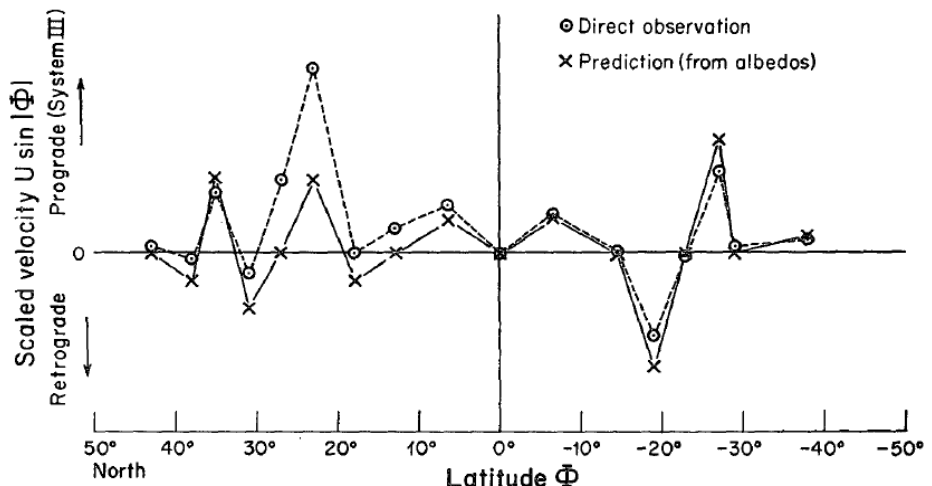
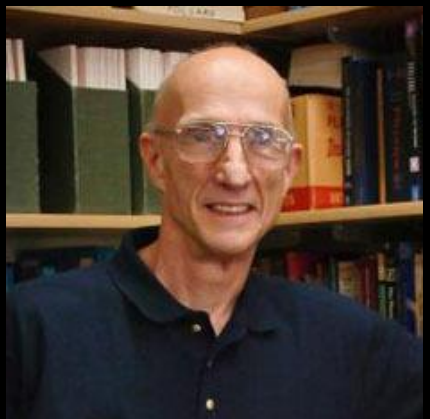


FIG. 1. Comparison of observed zonal velocity and that predicted from the visual albedo gradient. The observational data are from Peek (1958). Velocity is measured relative to System III, in arbitrary units. The factor $\sin|\Phi|$, which suppresses data at the equator, arises naturally from the geostrophic approximation. The sense of the correlation indicates that zones are hotter than belts.



風速の測定が大雑把すぎて何も分からぬ！

Ingersoll and Cuzzi (1969)

左: Peek(1958)による風速

下: 東西方向の風速のy(南北)による2階微分とβの比
 $f = f_0 + \beta y$ f :コリオリパラメータ

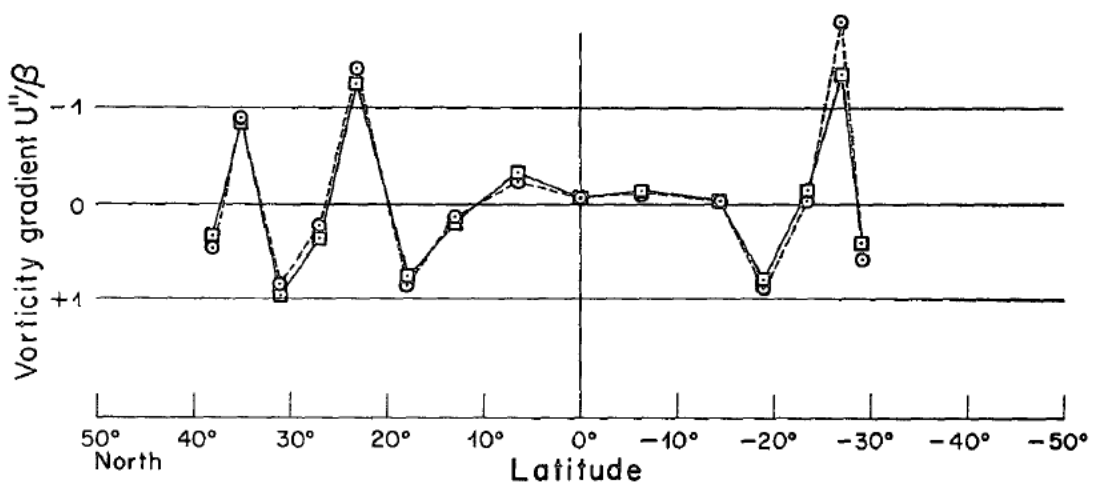
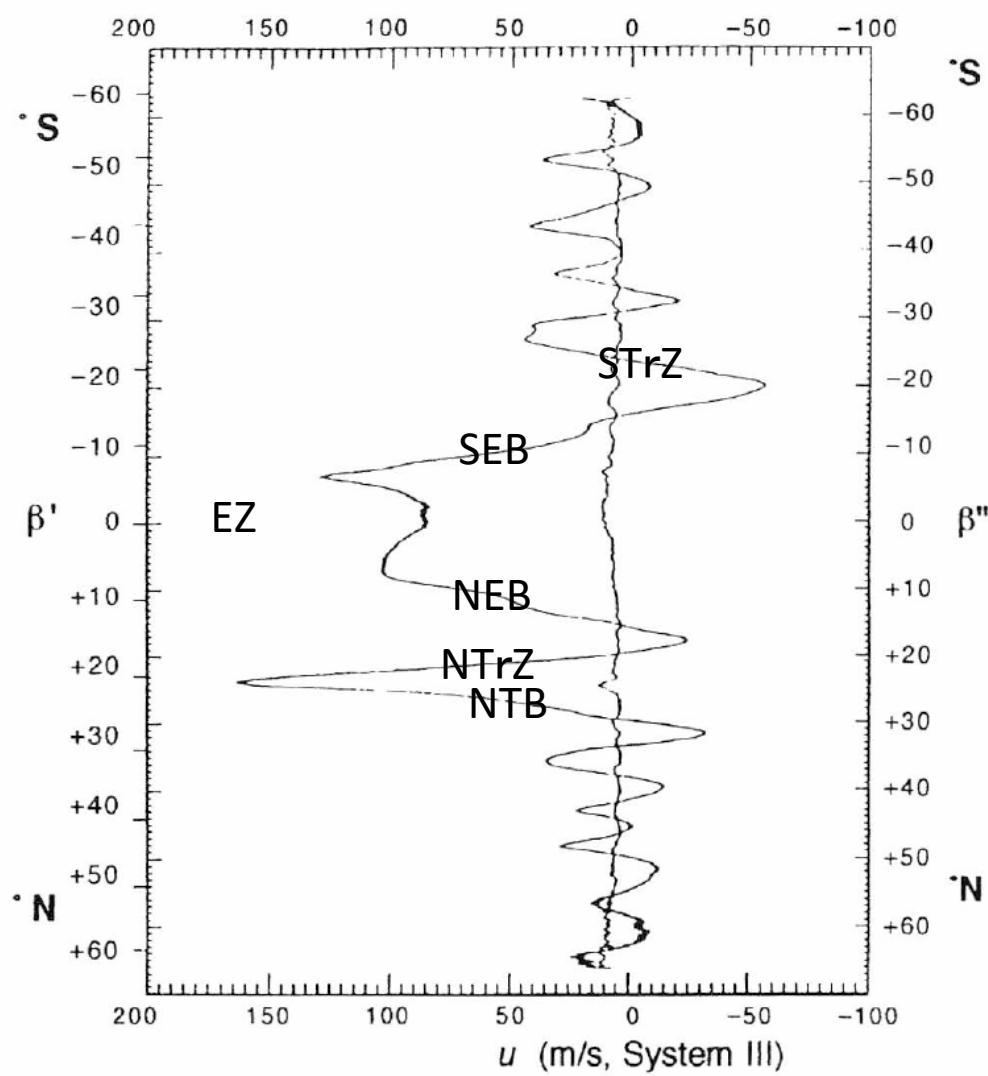


FIG. 2. Comparison of the relative vorticity gradient, $-U''$, and the planetary vorticity gradient, $\beta = (2\Omega_0/a) \cos\Phi$. The second derivative U'' was estimated by a three-point finite difference method, using Peek's (1958) data. Squares: Peek's data treated as a point-by-point sampling of the actual flow; circles: Peek's data treated as a set of averages, band by band, of the actual flow. The barotropic stability criterion states that $U''/\beta > 1$ is necessary for instability.



Ingersoll and Polard (1982)

Rogers 1994
木星の風速
1979年のV1,2の観
測は地上観測者に
とつて挫折感を与
えるものであった。

座標(局所直交)
東西 x u
南北 y v
上下 z w

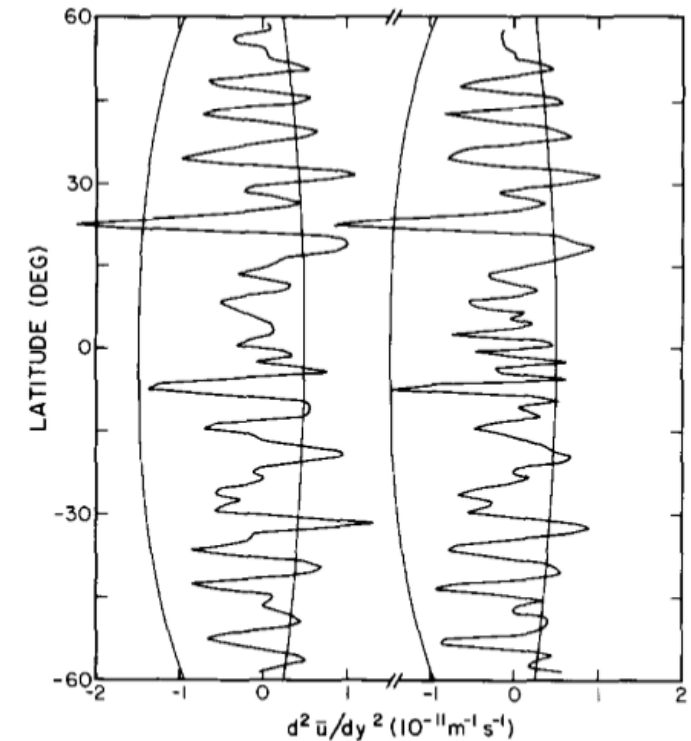
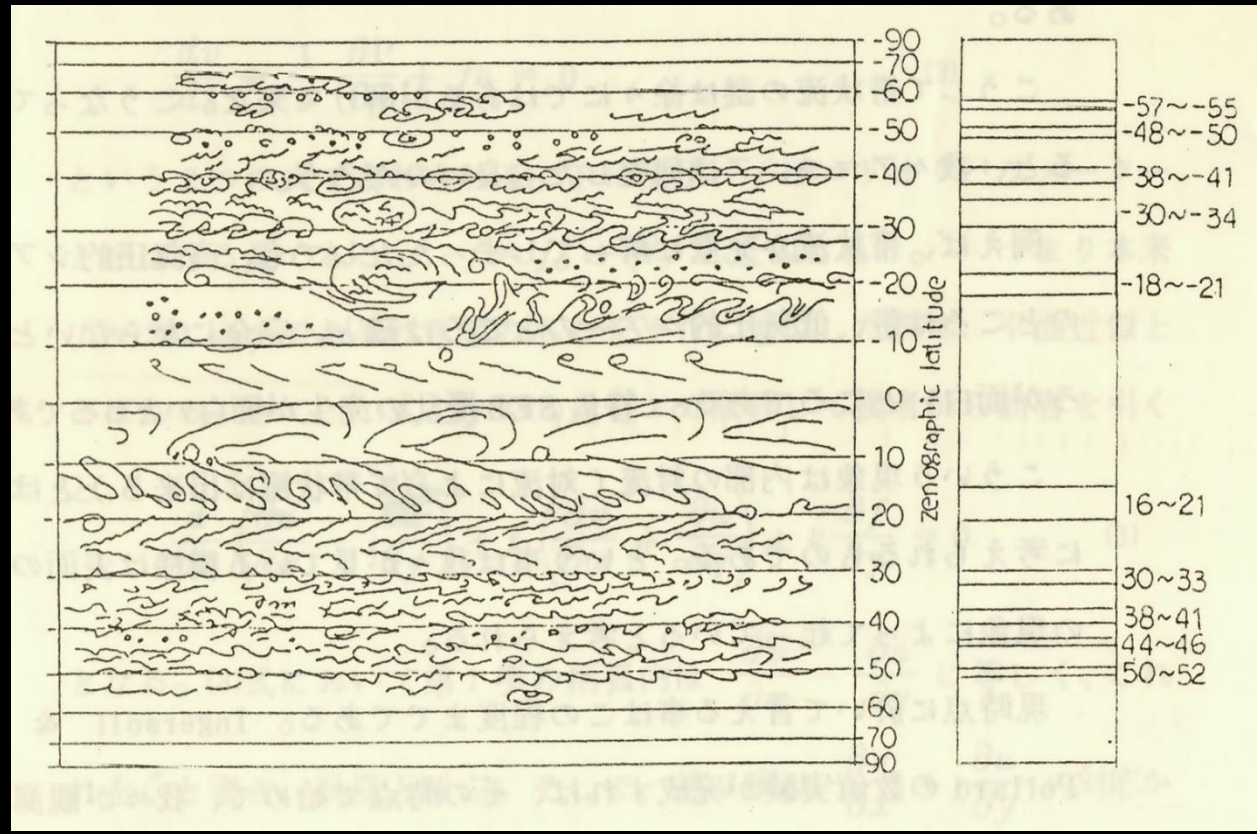
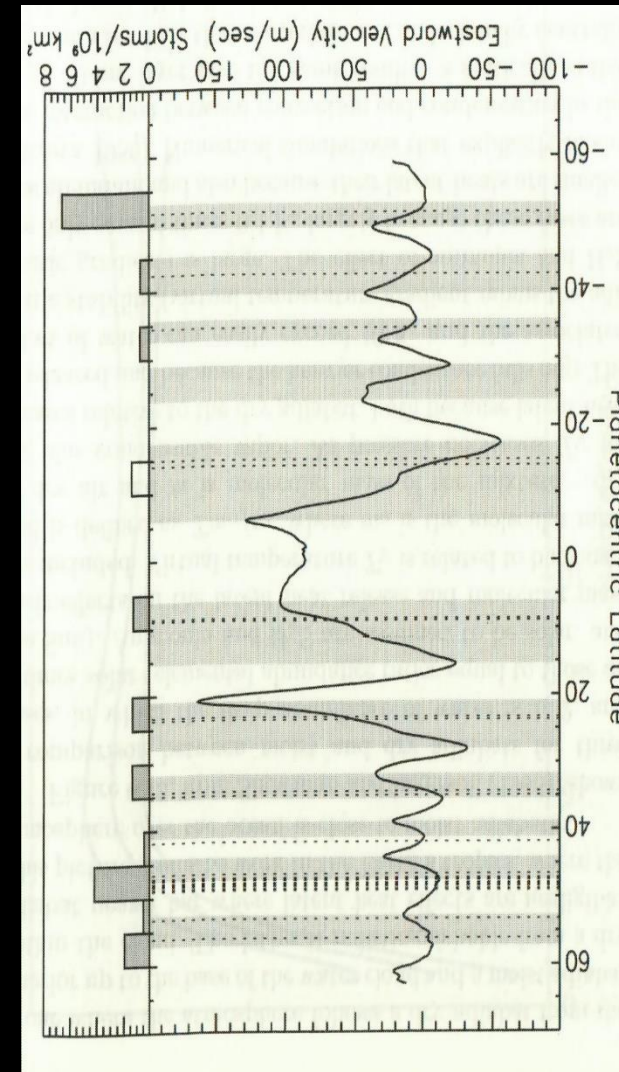


FIG. 4. Curvature or second derivative of Jupiter's zonal velocity profile for the solid curves of Fig. 3. Voyager 1 is on the left and Voyager 2 is on the right. The smooth curve on the right of each profile is β , the planetary vorticity gradient for thin spherical shells. The smooth curve to the left of each profile is $B \sin^2 \lambda$, derived in the text for deep fluid spheres. The $B \sin^2 \lambda$ curve is relevant up to a latitude of about 40 to 45°, where effects of the metallic core become important. The limiting curve (not shown) for deep flow at higher latitudes is infinite at the critical latitude and lies to the right of each profile. Notice that the observed profiles rarely cross the left curve, but often cross the right curve, suggesting that a deep interior flow with the observed curvature might be marginally stable.



Tabe (1983) Voyager1の流線に順圧不安定臨界を重ねたもの



Ingersoll et al, 2004
中緯度における雷の発生頻度

2 雲物理の系統

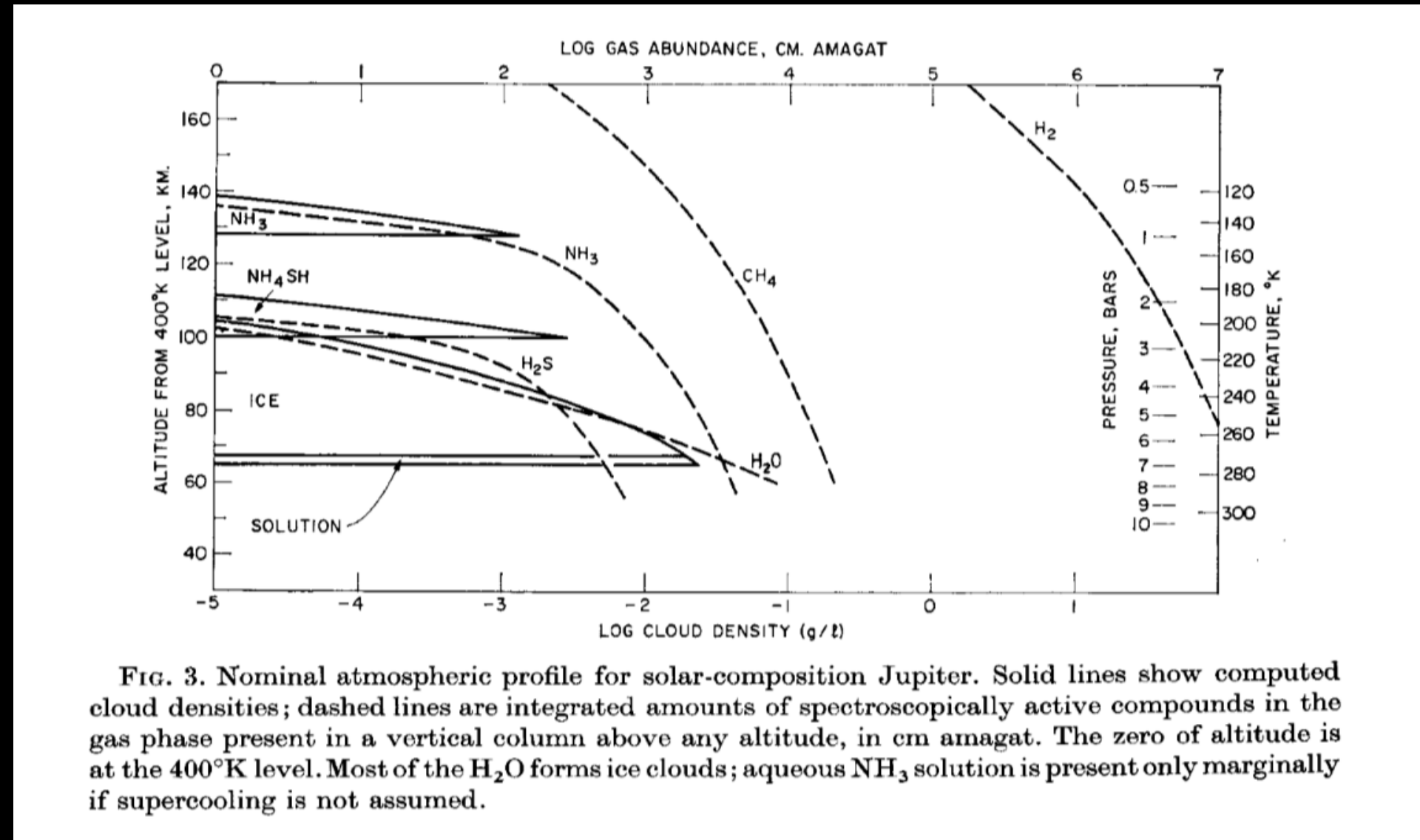
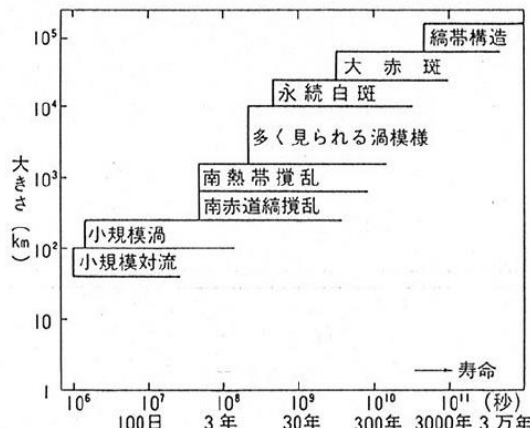
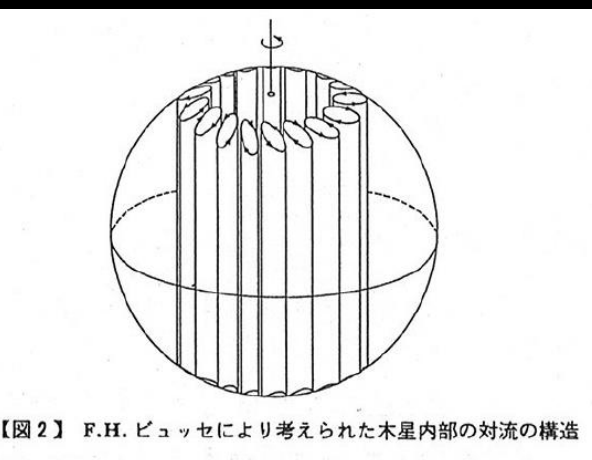


FIG. 3. Nominal atmospheric profile for solar-composition Jupiter. Solid lines show computed cloud densities; dashed lines are integrated amounts of spectroscopically active compounds in the gas phase present in a vertical column above any altitude, in cm amagat. The zero of altitude is at the 400°K level. Most of the H₂O forms ice clouds; aqueous NH₃ solution is present only marginally if supercooling is not assumed.

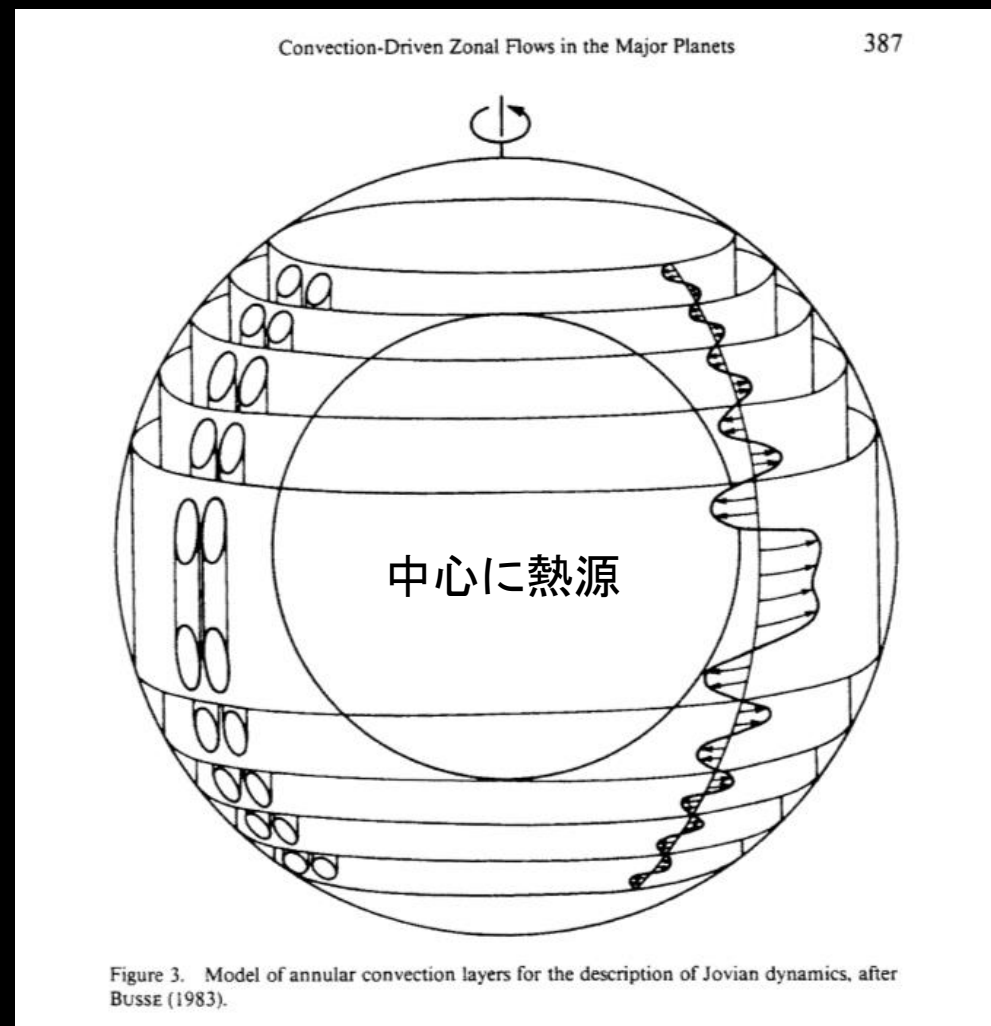
木星の内部の構造とBelt-Zone構造の関係(風の起源)



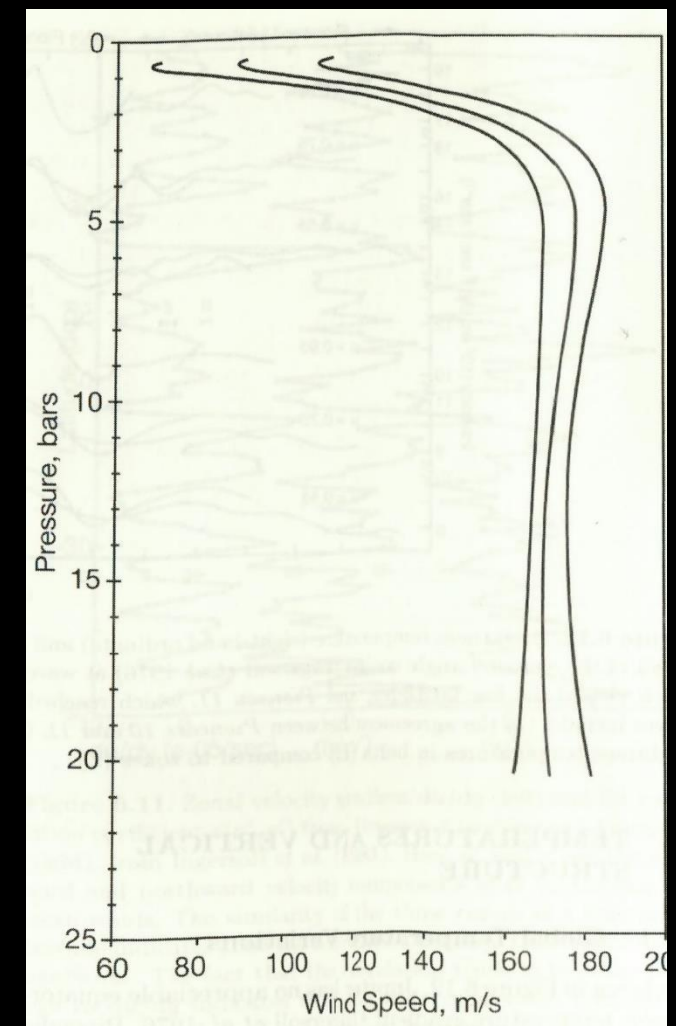
【図1】木星に見られる模様を大きさと寿命について分類したもの



【図2】F.H. ピュッセにより考えられた木星内部の対流の構造



Poincare1910, Roberts1961, Busse1970, SkyLabにおける水槽実験



Seiff 1996 Galileo Probeの観測
東西流は20b付近までは安定して続いている。

3 では、Belt-Zone(縞-帯)の概念

608

P. H. STONE

高い雲 低い雲 高い雲 低い雲 高い雲

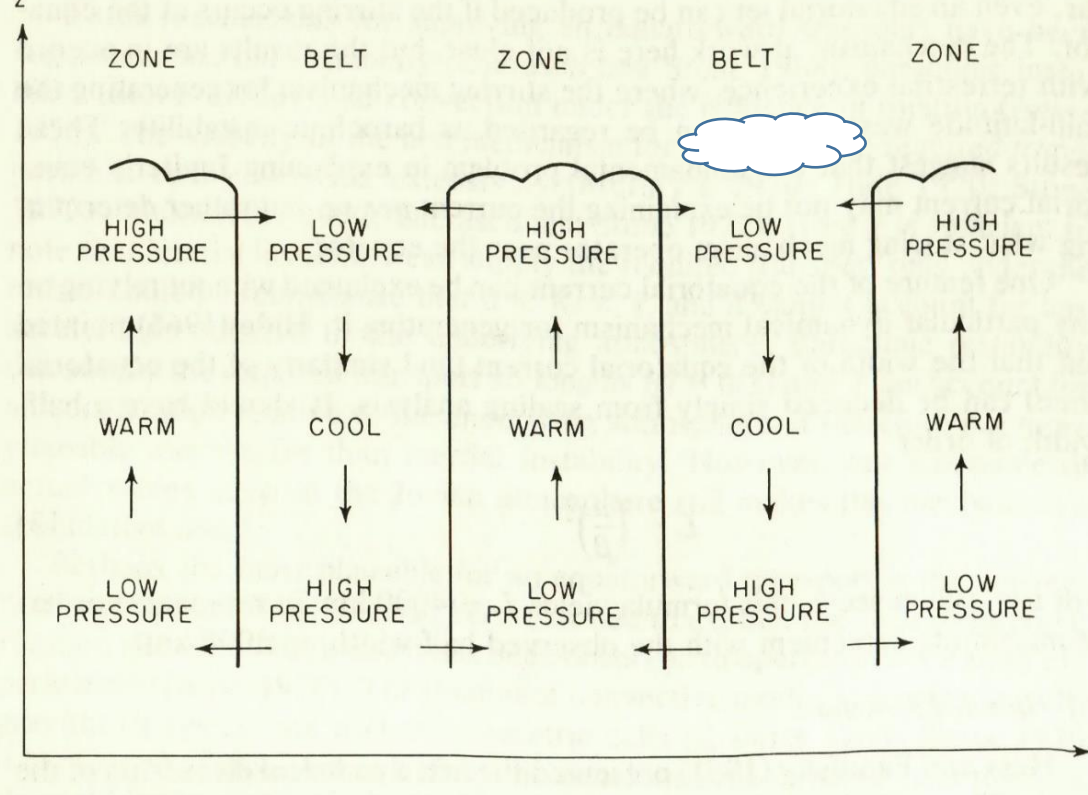


Fig. 4. Schematic diagram of Jupiter's meridional circulations.

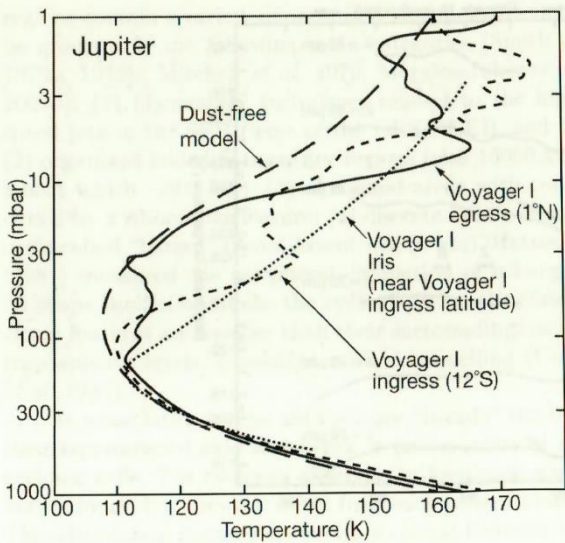
Stone 1976 この図は多くの教科書に引用されたが。。。。

高い雲 = NH₃の水晶
低い雲 = H₂Oの雲？ 着色物質？

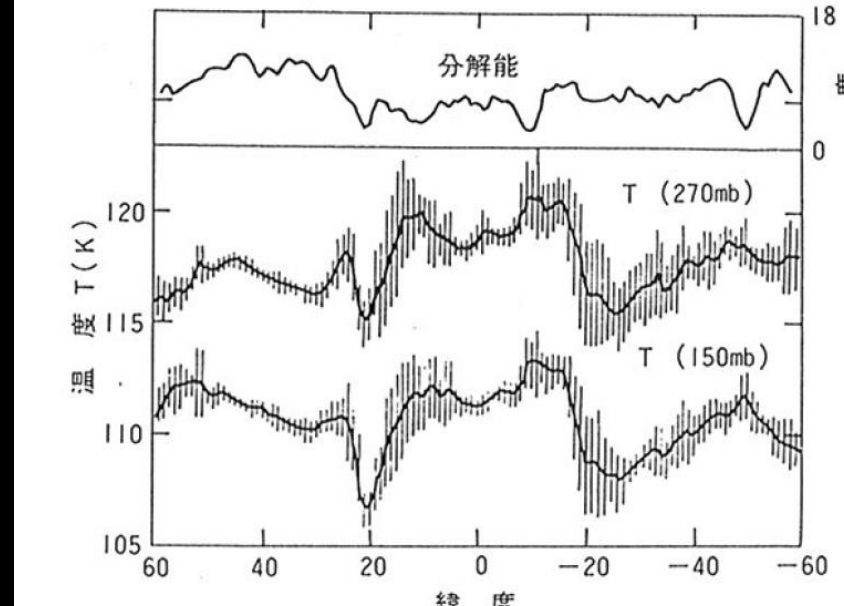


2010年8月9日 阿久津富夫氏撮影
縞が1本帯になった！？

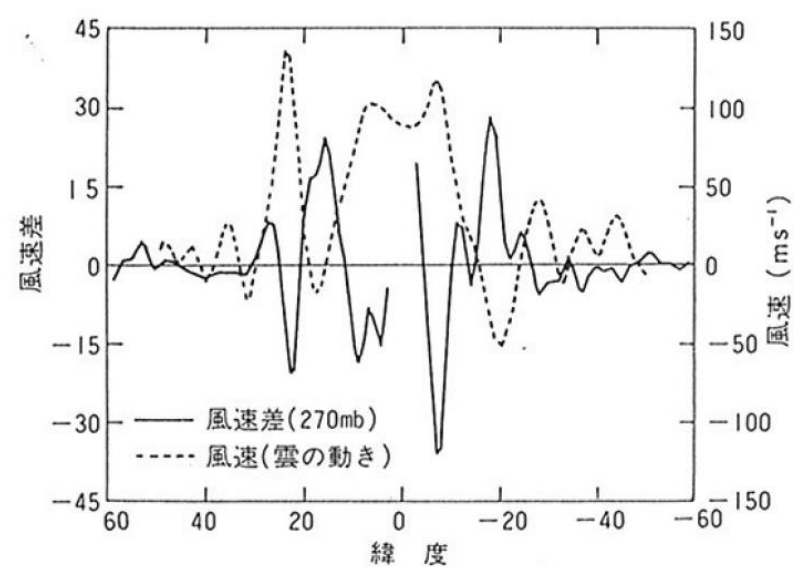
流れのパターンが変わった？？？



Ingersoll et al, 2004



【図1】 270 mb と 150 mb の温度分布



【図2】 温度場から得られた風速差と雲の運動から求めた風速の比較

Gierasch 1986

木星の温度構造: 表層は対流圏、下層に放射層があるだろう
温度の変化はあまりない(内部でよくかきまぜられている)
太陽から受けるのと同じくらいの内部発熱

メタンバンドによる観測

West (1979,1980)

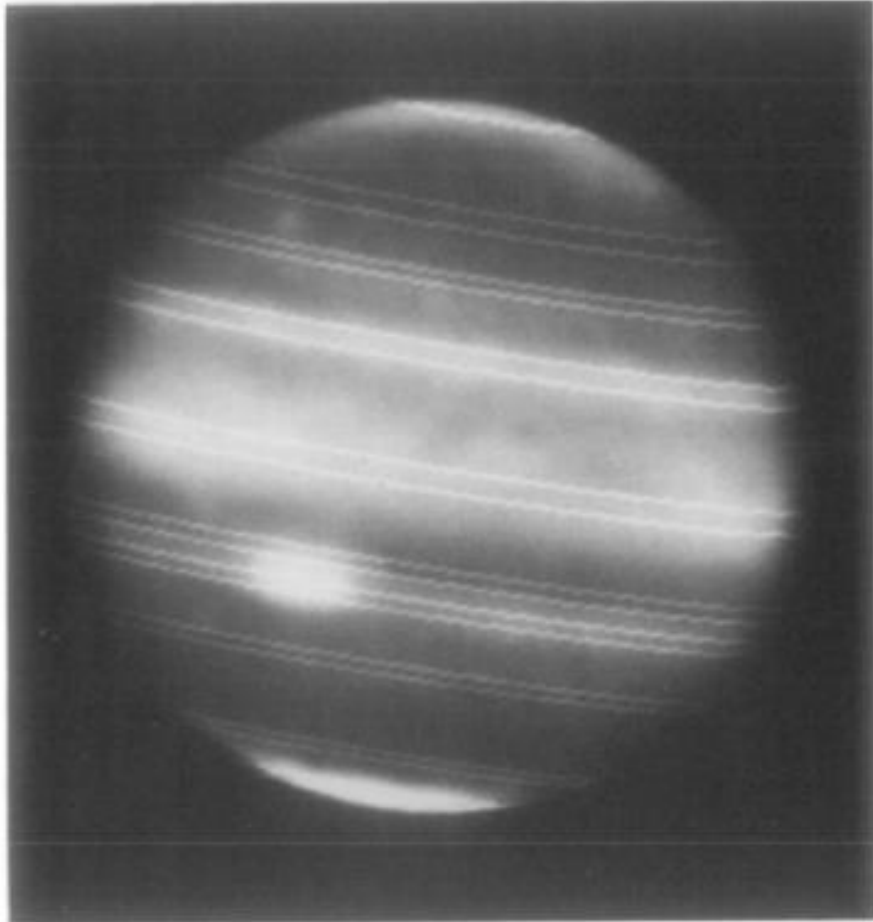


FIG. 4. Latitude boundaries for all regions in Table IV except the GRS. The (left) and 9500-Å image (right). The images have been contrast enhanced a

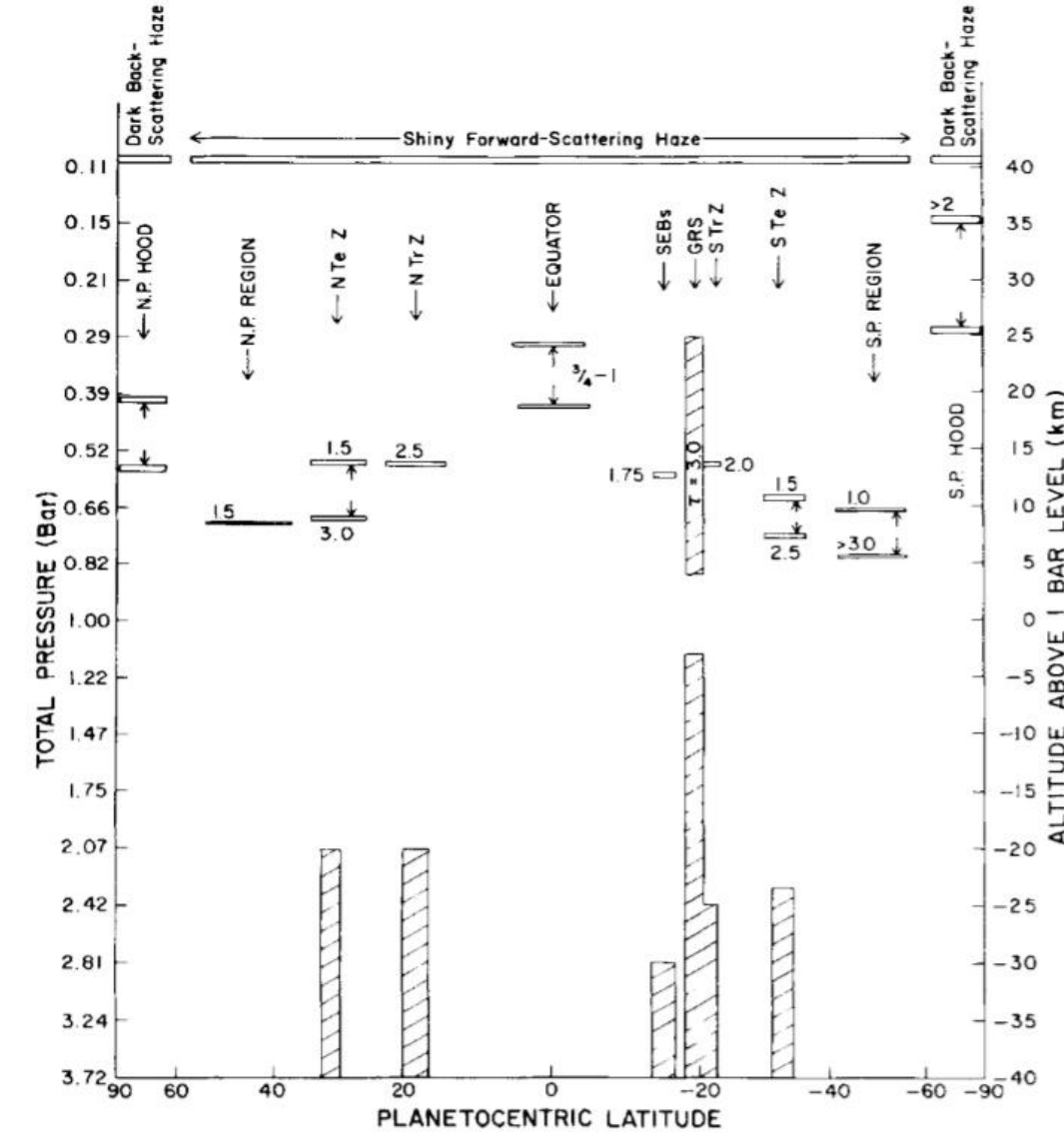
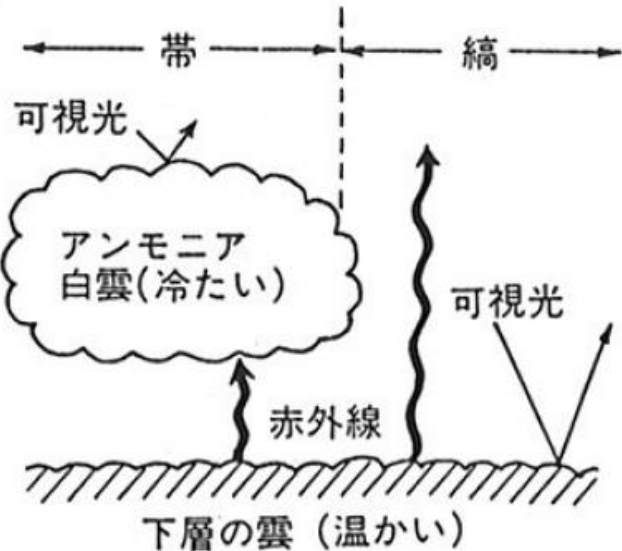
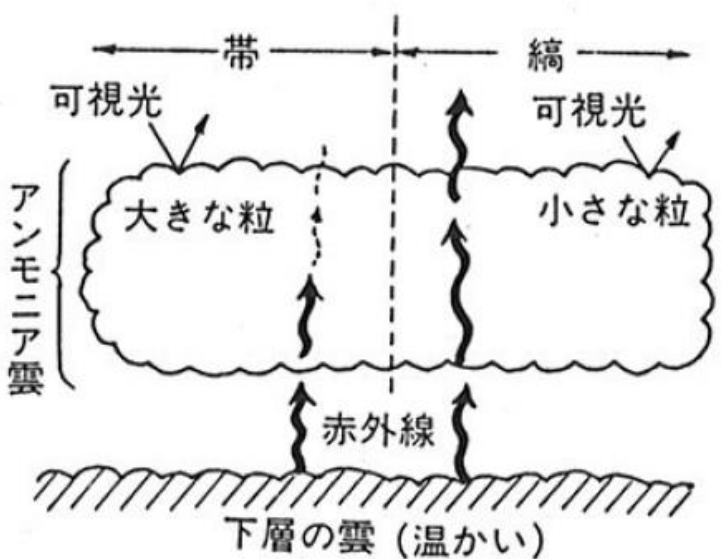


FIG. 7. Schematic representation of the global variation of cloud structure. Cloud altitudes (above the 1-bar pressure level) and optical depths are indicated. The areas are depicted wider in latitude than the bins used in this study.

解釈



【図1】オーエンとテリルのモデル



【図2】ウェストラのモデル

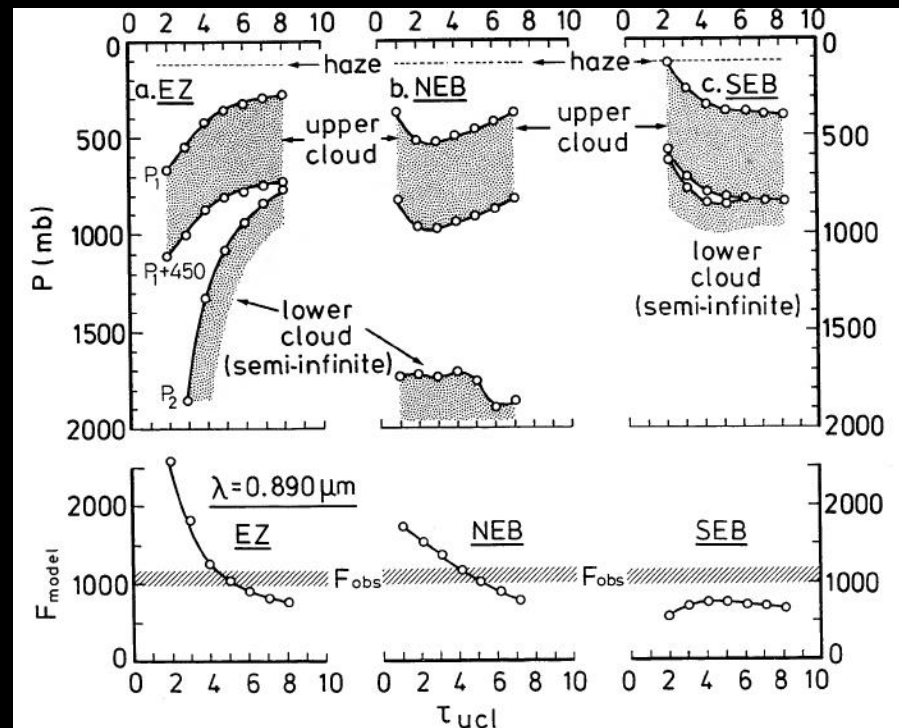


FIG. 4.—Locus of the value for the theoretical solar flux F_{model} in arbitrary units and the ranges of the cloud locations, obtained through the present analysis of the methane band data with the TCM. In the case of the EZ and the NEB, the values for F_{model} show good agreements with F_{obs} provided that the models have a cloud optical thickness of approximately 5. For the SEB, on the other hand, none of the F_{model} values based on parameter values capable of reproducing the observed CTLV agrees with that for F_{obs} . The improper theoretical brightness of the SEB model is likely to originate from the lack of gaseous absorption within the LCL.

Satoh and Kawabata 1994

NTBs outbreak

NTCurrent-C

NTCurrent-D

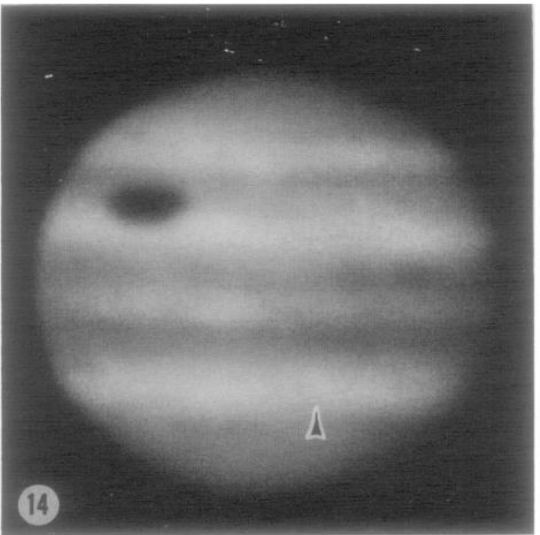


FIG. 14. Jupiter in blue light, 21 August 1970, 0203 UT, $\omega_1 323^\circ$, $\omega_2 55^\circ$, showing the pre-end of the south tropical disturbance approaching the Red Spot. The arrow points to a bright spot at latitude 23.8° N which had the shortest rotation period ever recorded on Jupiter.

Reese 1971, NMSUOの観測
9h47m台の自転周期の白斑

TABLE IV

LATITUDE AND LONGITUDE MEASUREMENTS OF A RAPIDLY MOVING WHITE SPOT ON SOUTH EDGE OF NORTH TEMPERATE BELT

1970 Date	Longitude (System I)	Std. dev.	Number of measurements	Deviation from linear least squares position	Zenographic latitude
Aug 12.13	377.1	± 0.3	6	-1.7	
	344.5	± 0.2	5	+1.5	+23.5
	333.5	± 0.2	7	+0.8	+24.1
	295.8	± 0.8	4	-0.7	
	286.4	± 0.3	4	+0.1	
	239.8	± 0.4	4	-0.0	
	220.1	± 0.2	5	+1.1	
	171.6	± 0.5	4	-1.1	

Least squares drift in System I = -5.162 deg/day

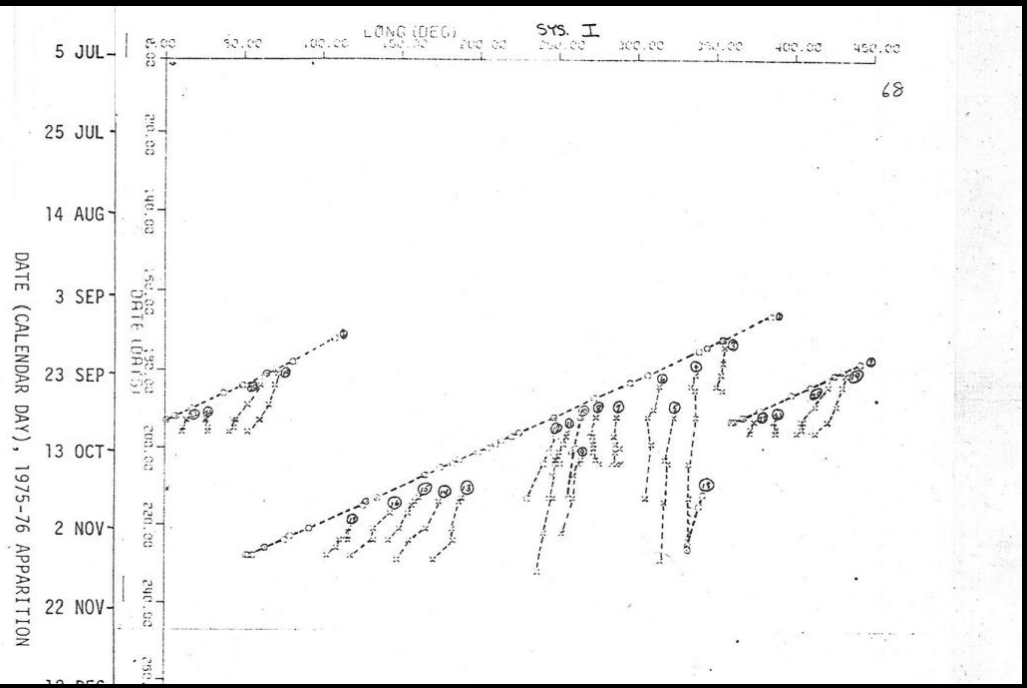
Least squares drift in System II = -12.792 deg/day or -170.65 ± 0.45 m/sec

Rotation period = $9^{\text{h}}47^{\text{m}}2^{\text{s}}9 \pm 1^{\text{s}}4$

Mean zenographic latitude = $+23.8^\circ$

Mean width = $5.6 = 6300$ km (4 measurements)

Mean length = $6.5 = 7500$ km (39 measurements)



NTBs outbreak in 1975-76 apparition

New Mexico State University Observatoryの観測結果
2つのリーディングスポット(白斑)(white spot)
多くの暗斑(dark spot)

P	N.	TEMP CURRENT - C	1975-76											
OBJECT	DESCRIPTION	LAT.	LENGTH	WIDTH	LIMITING	DATES	DUR.	LIMITING	SYS I	PERIOD	STD. DEV.	III(65) M/SEC	III(65) D/D	
								LONGITUDES	DRIFT(D/D)	9HR+ MIN SEC				
P 1	WC2 SPOT	23.2	6.6	4.0	75 9 9	751110	62	386.5 110.0	-5.3755	46 54.4	0.2	170.61	-12.7385	
P 2	WC2 SPOT	23.6	6.4	4.1	75 915	75106	21	53.7 1.9	-5.1820	47 2.1	2.0	167.64	-12.5450	
MEAN	2 SPOTS	23.4					41		-5.2788	46 58.2		169.12	-12.6417	

(RECORD RAPID RATE FOR NTEC-C)

P 14	DC2 BAR	24.3	9.0	4.0	751027	751111	15	175.1 147.6	4	-1.8596	49 15.1	9.4	122.67	-9.2226
P 15	DC2 PAR	24.1	9.2	4.5	751026	75116	11	161.0 142.8	6	-1.6524	49 23.4	3.8	120.05	-9.0154
P 16	DC2 BAR	23.9	8.5	4.5	751030	751110	11	143.2 119.4	4	-2.1494	49 3.5	9.9	126.87	-9.5124
P 17	DC2 PAR	24.0	8.8	4.4	75113	751110C	7	118.5 104.0	6	-2.0914	49 5.8	9.9	125.98	-9.4544
P 20	DC2 BAR	23.9	8.8	4.8	75 927	75109	12	60.3 40.6	6	-1.6580	49 23.2	5.3	120.26	-9.0210
MEAN	5 SPCTS	24.0					11		-1.8822	49 14.2		123.17	-9.2452	
MEAN	3 SML DARK	23.9	8.7	4.6			10					124.37	-9.3293	

75.8

IAUC 3478 (21 May 1980)

JUPITER

New Mexico State University Observatory is tracking a very bright spot in the jet in Jupiter's North Temperate Current C at 23° latitude. The spot was first seen on plates taken on May 11 and was measured at longitude 118°.5 (system II) on a plate taken on May 15d03h05m UT. Calculations from measurements on three dates yield a velocity of -13°.55 per day relative to system II. Plates taken in red light show a series of dark spots trailing the fast-moving bright spot.

$$360/(870.27-13.55)*24h = 9h46m32s$$

Rogers 1995 The Giant Planet Jupiter

Average (1891–1944)		49m 9.0s (±7.7s)	-60.4 (N=7)	53m 16.7s (+24.3s)	+123.4 (N=6)		
1964/65		49m 18.5s	-53 (1)			+24.2	NMSUO
1970	47m 3s	-155 (1)				+23.8	NMSUO
1975:							
Main:	46m 57s	-159 (3)					BAA
Main:	47m 18s	-144					SAF
Main:	46m 50s	-164 (1)	49m 35s	-41 (4)	52m 19s	+81 (2)	SL&Q†
Second:	[48m 47s	-77]*					SAF
Second:	[48m 19s	-98]*(5)				+23	SL&Q†
1980	46m 33s	-178 (1)					NMSUO
1990	46m 50s	-165 (2)	49m 57s	-25 (9)		+23.8	BAA
Average (1964–1990)	46m 51.9s (±13.9s)	-163.4 (N=4) (±10.7)	49m 36.8s (±19.3s)	-39.6 (N=3) (±12.6)	53m 8.4s (+31.1s)	+117.2 (N=7) (+22.5)	+23.6 (±0.5°)
Average (overall)	46m 51.9s (±13.9s)	-163.4 (N=4) (±10.7)	49m 17.4s (±17.4s)	-54.2 (N=10) (±12.6)	53m 8.4s (+31.1s)	+117.2 (N=7) (+22.5)	+23.6 (±0.5°)
Voyager	47m 15s	-146 (global)				+23.8	Limaye (1986)
Voyager	46m 19s	-188 (global)				+23.7	Maxworthy (1984)

For each apparition, the Table gives the observed speed in two forms: P (rotation period, 9 hrs+), $\Delta\lambda_1$ (speed in System I in degrees per 30 days). (N is the number of spots with drifts recorded; see text for total number of spots in outbreak). 1892 values are approximate and not included in averages.

* Intermediate drift rates not included in averages.

†Sanchez-Lavega & Quesada (1988). Their speeds were approximate, $\approx \pm 30^\circ/\text{mth}$. Their latitude was for D and C current spots; B current spots were at 26.5°N . See text for descriptions of features.

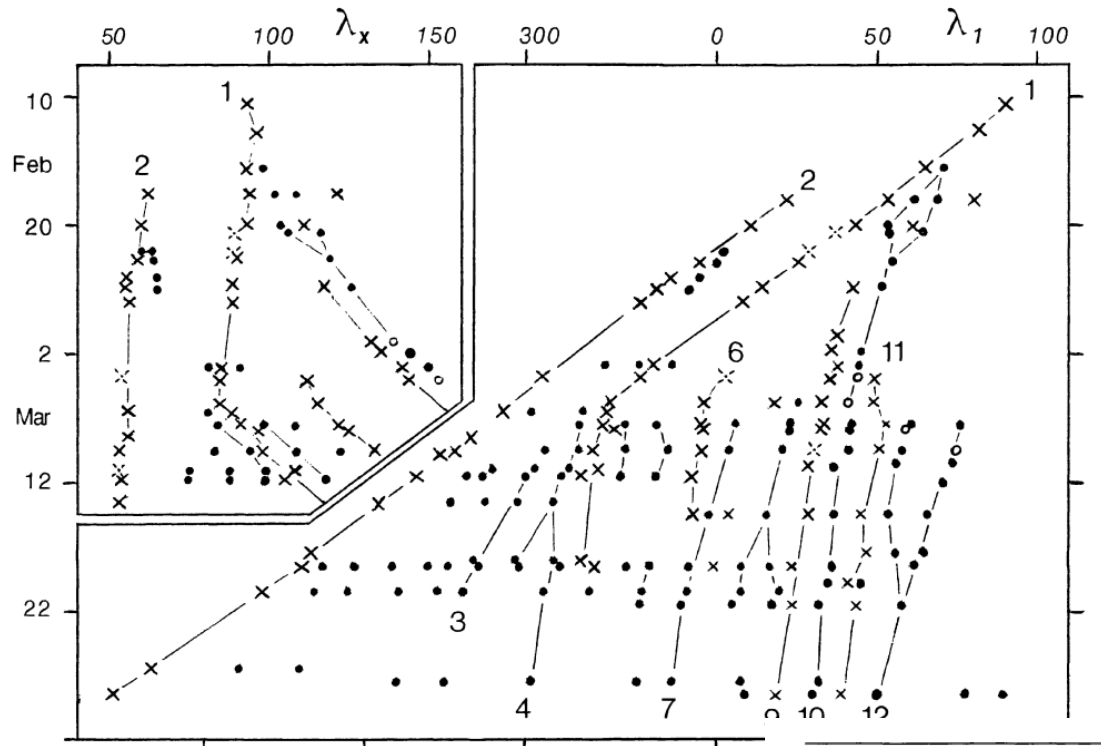


Figure 24. Chart of the NTBs jetstream outbreak, plotted in System I longitude. x, white oval; ●, longitude system moving at $-5.0^\circ/\text{day}$ relative to System I.

IAUC 4991, 1990 April
Tabe, Goto Optical, Tokyo, telexes that observations of the bright spot at latitude +24 deg (cf. IAUC 4967) by I. Miyazaki, K. Horikawa, T. Akutsu, M. Sato, and K. Yamamoto during Feb. 10-22 indicate a very short rotation period of 9h46m55s ± 2 s, corresponding to a wind speed of -150 m/s relative to System III. On Mar. 4.565 UT, T. Sata, Science University of Tokyo, using the 1.88-m reflector of Okayama Astrophysical Observatory (+ CCD camera at 890 nm, the methane absorption band), found this to be the brightest spot on the planet's disk, indicating a high altitude.

1989-90 Apparition Rogers (1992)

宮崎 1990
天界 780

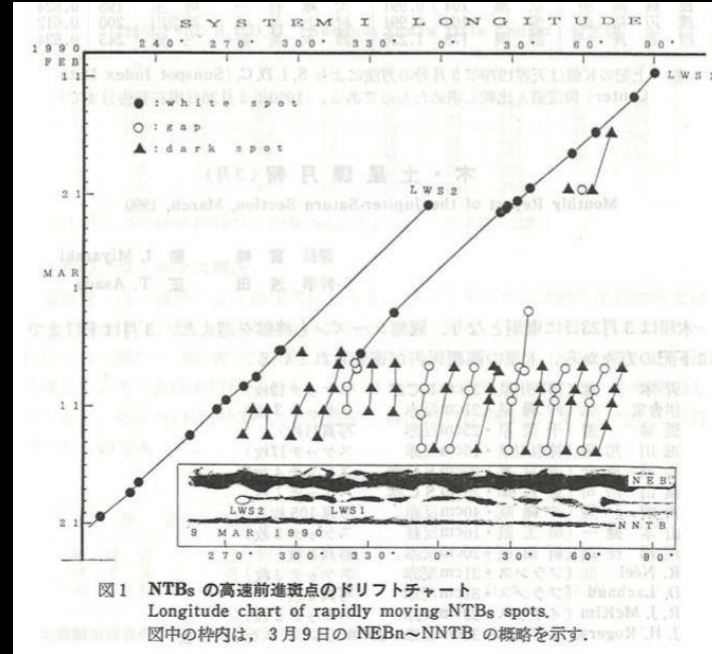


図1 NTBs の高速前進斑点のドリフトチャート
Longitude chart of rapidly moving NTBs spots.
図中の枠内は、3月9日の NEBn～NNTB の概略を示す。

NTBs jetstream (Current D)

	λ_I (Feb 20)			
1	Bright w. oval (also see no.5)	23.7	41	-169
2	Bright w. oval (p. end of disturbance)	23.7	10	-160

NTBs jetstream (Current C)

	λ_I (Mar 12)			
3	D.s.	24.0	300	(-68)
4	D.s.	24.0	310	-26
5	Bright w. oval (=no.2)	23.5	322	(-21)
6	Bright w. oval	(23.5)	353	-12
7	D.s.	24.0	360	-36
8	D.s.	24.0	17	-38
9	Bright w. oval	(23.5)	30	-22
10	D.s.	24.0	38	-27
			-12	Mar 10—Mar 28
11	W. bay NTBs	-	48	-12
12	D.s. (f. end of disturbance)	24.2	71	-39

Notes: *For NTropC features in 1988/89, which did not appear until after opposition, longitudes are for 1989 Feb 25, and the quoted drift between apparitions is calculated on the assumption that these longitudes were 2° too high due to phase effect.

For NTBs jetstream features, latitudes were measured by Miyazaki from his own photographs.

堀川 OAA木土星課 木星面 クロニクルより

1990年以来17年ぶりとなる。最初の観測はブラジルのCalvalho氏によるもので、27日に淡化的NTB上に2個の明るい白斑を捉えており、29日のPujic氏の画像では、白斑の後方に暗斑とやや北寄りに小白斑が出現している。白斑の位置は、前方(LS1)がI:37.7°(29日、Pujic氏)、後方(LS2)がI:97.5°(30日、Olivetti氏)で、LS1の初期のドリフトは-4.1°/day(自転周期換算で9h47m45s)と、北温帯流-CのLeading spotとして典型的な値を示している。NTBは2002年末以降、4年以上に渡り淡化的状態にあった。今後はLeading spotの後方に少し遅い9h48m～49m台の自転周期で前進する暗斑群が出現し、NTBを数ヶ月足らずで濃化復活させると予想される。

北半球では、3月末に始まった北温帯流-Cの活動により、濃く太いNTBが復活しつつある。最初に発生した先行白斑(LS1)は木星面をほぼ半周して、I:227.7°(29日、Go氏)へと進んでおり、この間の前進速度は体系Iに対して-5.5°/dayに達する。これは自転周期に換算すると9h46m50.8s(体系IIIに対する風速では+168.8m/s)で、北温帯流-Cの先行白斑として典型的な値である。後方ではNTBが復活し、灰色の不規則な暗部や小白斑が連なって乱れており、高解像度の画像では隣接するゾーンにも微細な模様が広がっている。活動開始直後にはもうひとつの白斑(LS2)が観測されたが、4月中旬までに消失してしまったようである。4月末の時点では、LS1からI:70°付近までNTBが濃く太く復活しており、その後方でもI:110°付近まで青灰色の暗斑が連なっている。一方、LS1前方のNTBはまだ淡く細いままであるが、高解像度の画像では小白斑やフィラメント状の暗部が見られる。

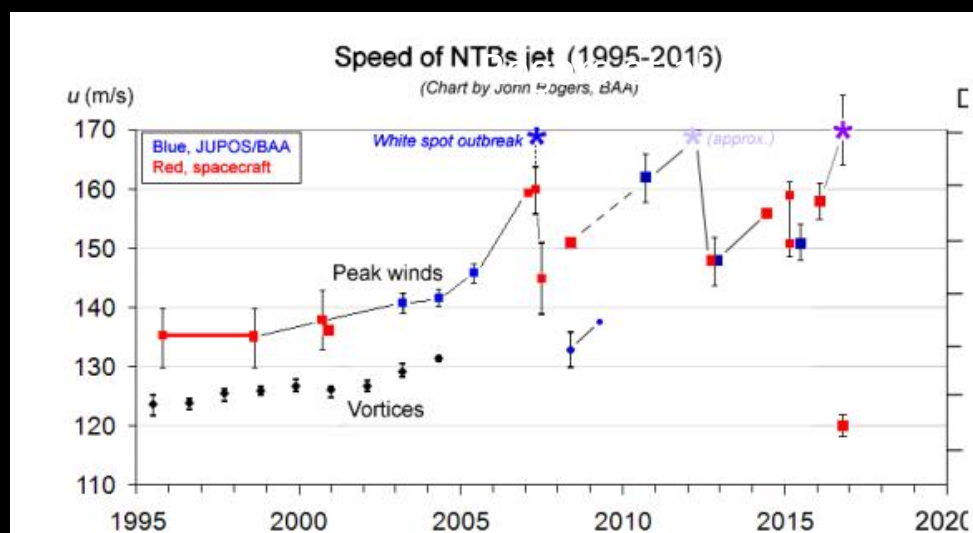


Figure 1. Chart of NTBs jet peak speed over recent decades.

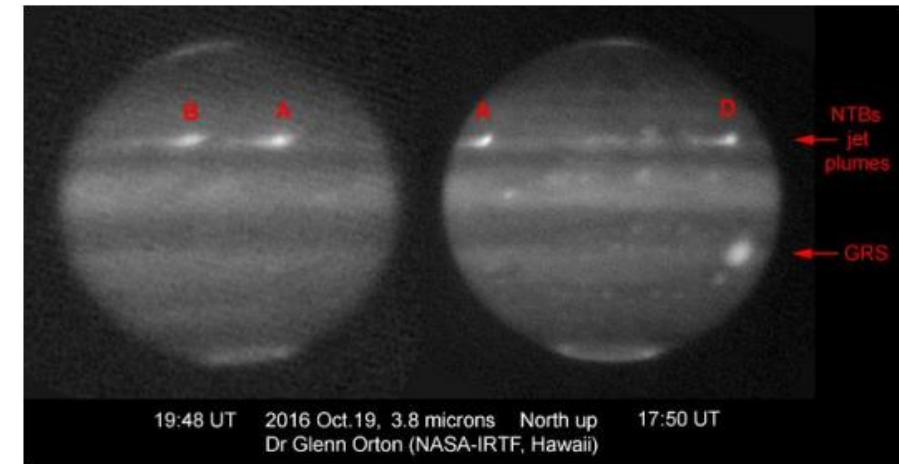
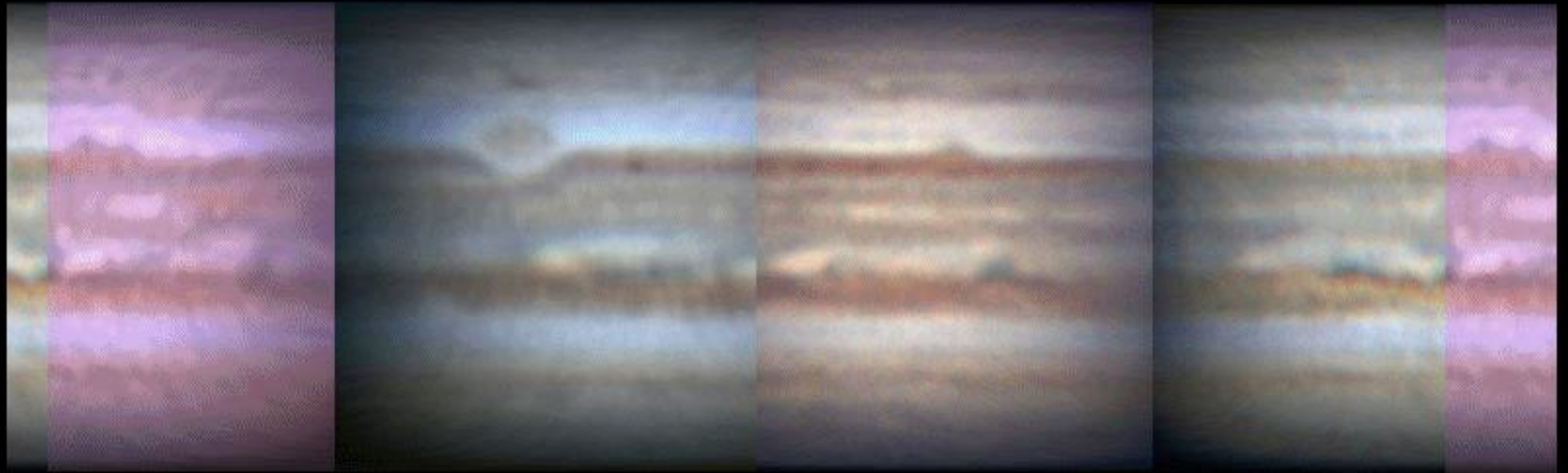
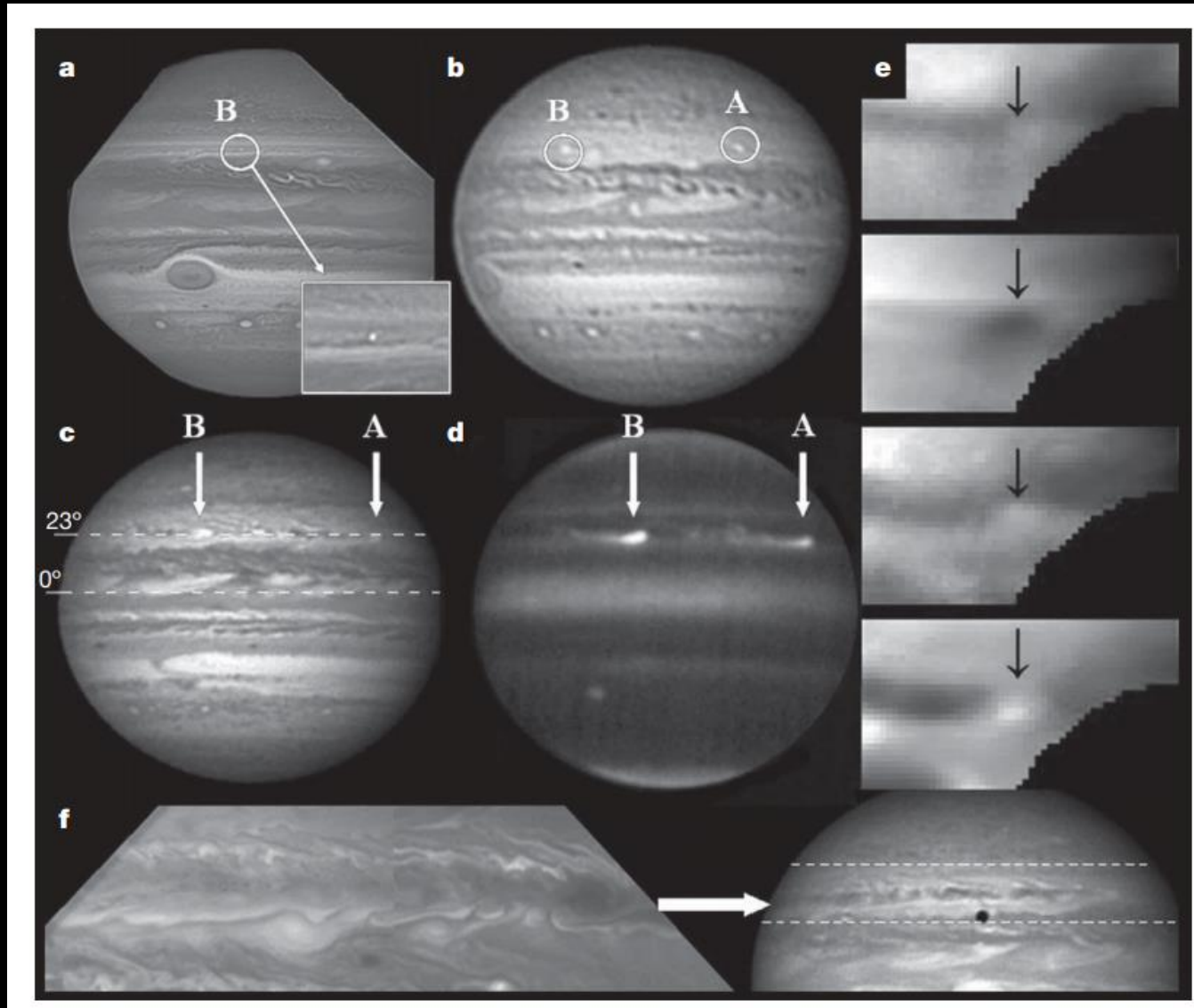


Figure 2. Discovery images of the NTB plumes, 2016 Oct. 19 (from SpeX on the IRTF at 3.8 μm, sensitive to gas absorption).

2007年2月～4月 伊賀祐一さん作成

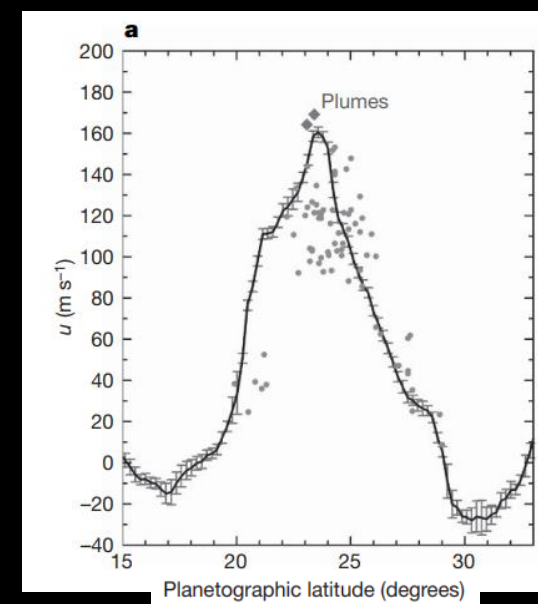


340 0 20 40 60 80 100 120 140 160 180 200 220 240 260 280 300 320 340 0 20
Cylindrical map on January 10/11/12, 2007 (Imaged by F.Carvalho, A.Wesley)



- a 2007 25 March HST
- b 2007 27 March IOPW
- c 2007 5 April IOPW
- d 2007 5 April IRTF
- f 2007 1 May HST

plume A 23.4 ± 0.4 169.2 ± 0.5 m/s
plume B 23.1 ± 0.1 164.3 ± 1.7 m/s



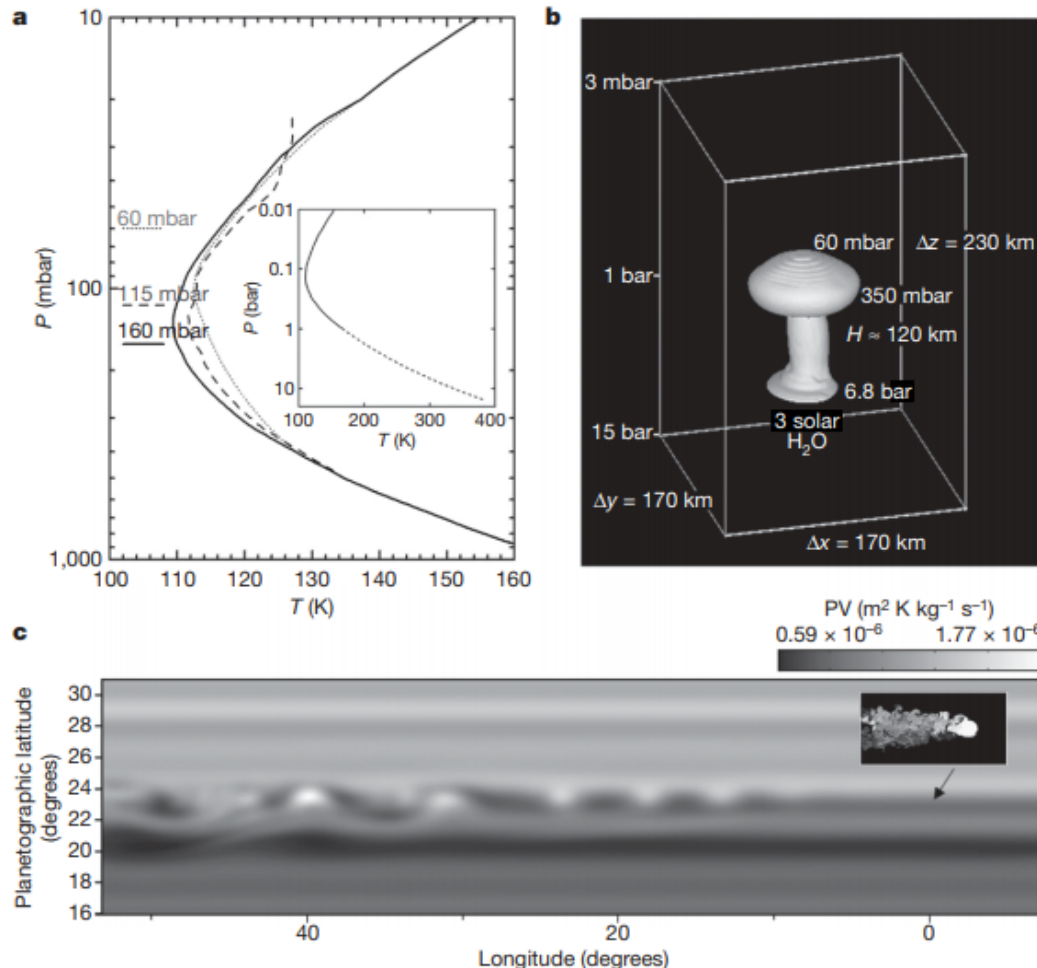


Figure 3 | Models of the plume onset and disturbance development.

a, b, Wet convective three-dimensional model of the plumes. **a,** Thermal profiles used to run the simulations and the cloud top level reached by the convective cell assuming a deep water content of 3 times solar abundance and 95% of relative humidity above the condensation level. P , pressure; T , temperature. The continuous line corresponds to the Cassini CIRS thermal profile at the NTB location¹⁹, the dashed line to the Voyager IRIS thermal profile¹⁸ and the dotted line to a synthetic profile with less static stability from 500 to 200 mbar required for the storms to reach the 60 mbar level. The inset shows the wet adiabat extension deep in the atmosphere. **b,** Convective

cell resulting from the model able to fit the observed cloud tops of the plumes and the domain of simulation. **c,** The plume brightness distribution (inset) results from a two-dimensional model of a round cloud placed in the peak of the jet and evolving as it interacts with the meridional shear of the zonal wind¹⁷ with a spatial resolution of 5 km over a $10,000 \times 5,000$ km area. The map (main panel) shows the distribution of Ertel's potential vorticity (PV; greyscale) at 650 mbar after 30 days for a simulation where the jet extends vertically downwards with constant value from the upper cloud layer at altitude ~ 0.6 bar down to at least 5–7 bar (the location of the water clouds and the plume source). Inset and map are at the same scale.

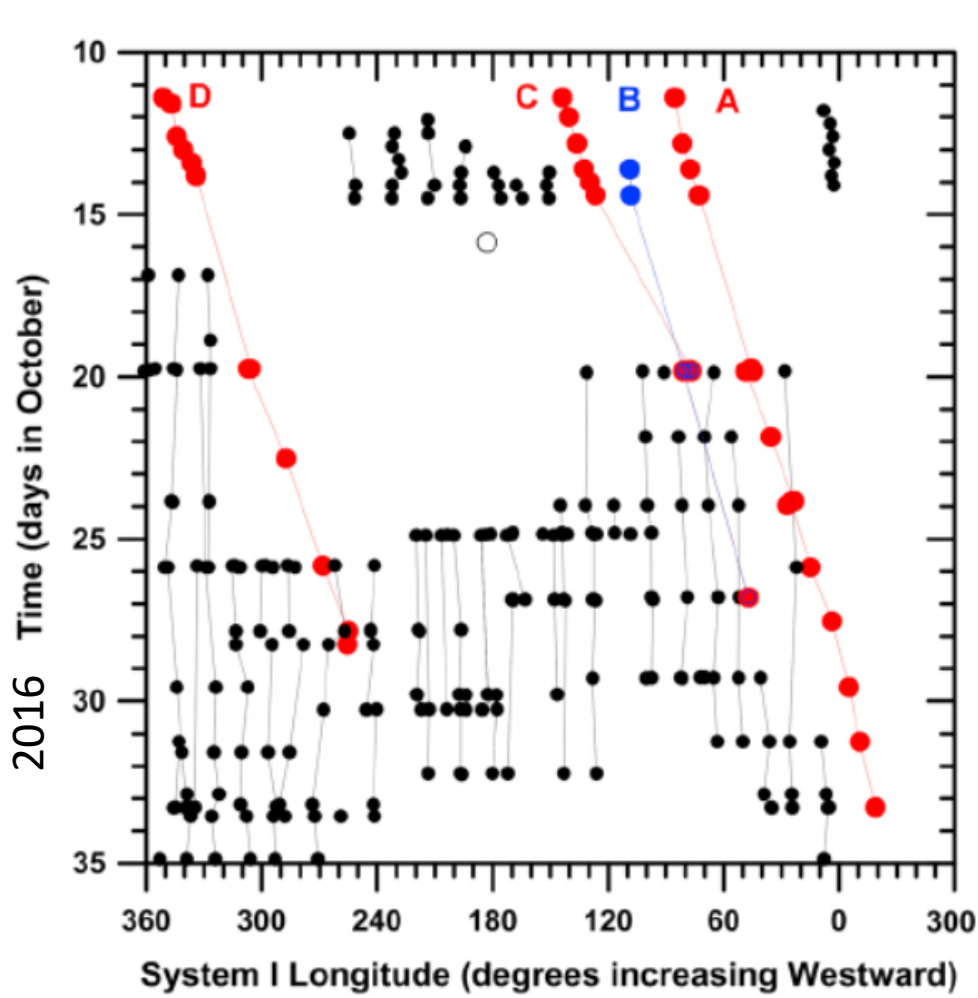


Figure 2. Drift rate in System I longitude of the features pertaining to the NTBD, tracked between 10 October and 4 November 2016. The plumes A, C, and D are identified by red dots. Plume B is the blue dot: it disappeared or merged with plume C. The dark dots indicate features forming the NTBD westward of the plumes. The lines identify the tracking of the features. Data from JunoCam images are for 11–14 October.

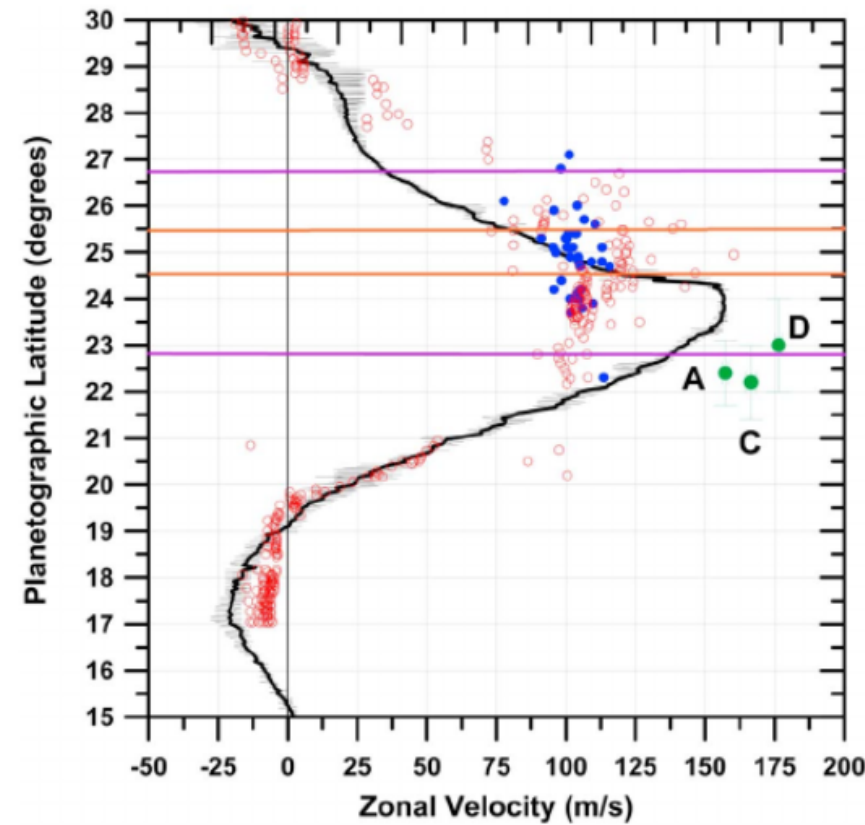


Figure 4. Meridional profile of the NTBs jet stream as measured using HST images on 9–10 February 2016 about 7–8 months before the outbreak (black curve with wind error measurement indicated [Hueso et al., 2017b]). The velocity and location of the NTBD disturbance features are shown as dots: green for the plumes (A, C, and D), blue dots for long-term tracked features (dark and white spots, tracking for 5–10 days), and circles for all kind of features (tracking on Pic-du-Midi images for about 50 h using two methods). The NTBD data correspond to the period 11 October to 11 November 2016. The horizontal orange lines mark the limits of the pre-outbreak band that was bright in UV but dark in methane absorption at 890 nm (Figure S1). The horizontal purple lines mark the limits of the reddish band that formed when the NTBD activity ceased (Figure S5).

Sanchez-Lavega (2017)
GRL

Winds around NTBs jet-stream Outbreak

AJPO-Japan Summary Report - Additional material

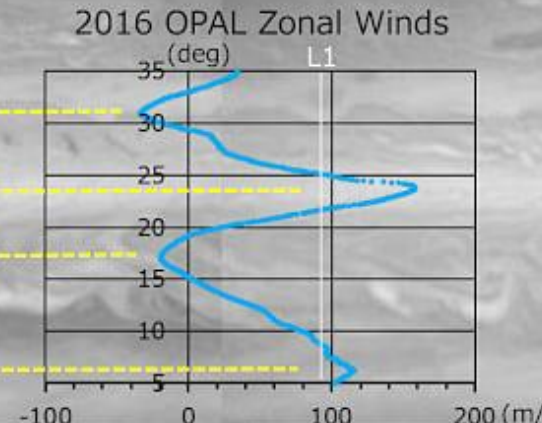
2020 Sep. 20 HST, UV (F343N) – Maps (L1)

credit: ESA Science Archive / S. Mizumoto

03:02.9

2020年の発生 後のお楽しみ !

#1
NTBn jet
NTBs jet
NEBn jet ↑NEB expanding
NEBs jet



12:34.5

NTB
NTrZ

NEB



NEB: Rift structure

Wind Velocity: small →
Shifted to retrograde (L1).

NTB: Rift structure

NEB expanding:
Rift structure

Wind Velocity gradient: steep
White clouds flutter (Rift structure).

#2

Wind Velocity: large →
Shifted to prograde (L1).

Locally shifted to prograde
because of dark spot.

Get caught in the dark spot.

- NTBs white clouds and NTrZs white clouds appear to be fluttering and stretched by steep wind velocity gradients.
→ Rift structure

Lead Spot	最初の観測	木心緯度	風速 (m/s)	自転周期	出典
1970A	1970/8/12.13	+23.8	170.65	9h47m2.9s ± 1.4	Reese 1971
1975A	1975/9/9	+23.2	170.61	9h46m54.4s ± 0.2	NMSUO 1977
1975B	1975/9/19	+23.6	167.64	9h47m2.1s ± 2.0	NMSUO 1977
1980A	1980/5/15	+23	(-13.55deg/day II)	9h46m32.68s	IAUC3478
1990A	1990/2/10	+23.7	169		Rogers 1992
1990B	1990/2/17	+23.7	160		Rogers 1992
2007A	2007/3/25	+23.4	169.2 ± 0.5		Sanchez-Lavega 2008
2007B	2007/3/27	+23.1	164.3 ± 1.7		Sanchez-Lavega 2008
2016A	2016/10/11	+22.4 ± 0.7	157.3 ± 1.1		Sanchez-Lavega 2017
2016B+C	2016/10/11	+22.2 ± 0.8	198.6 ± 2.0		Sanchez-Lavega 2017
2016D	2016/10/11	+23.0 ± 1.0	176.4 ± 1.3		Sanchez-Lavega 2017
2020A		+23.1 ± 0.3			
2020B					

類似の現象

類似の現象

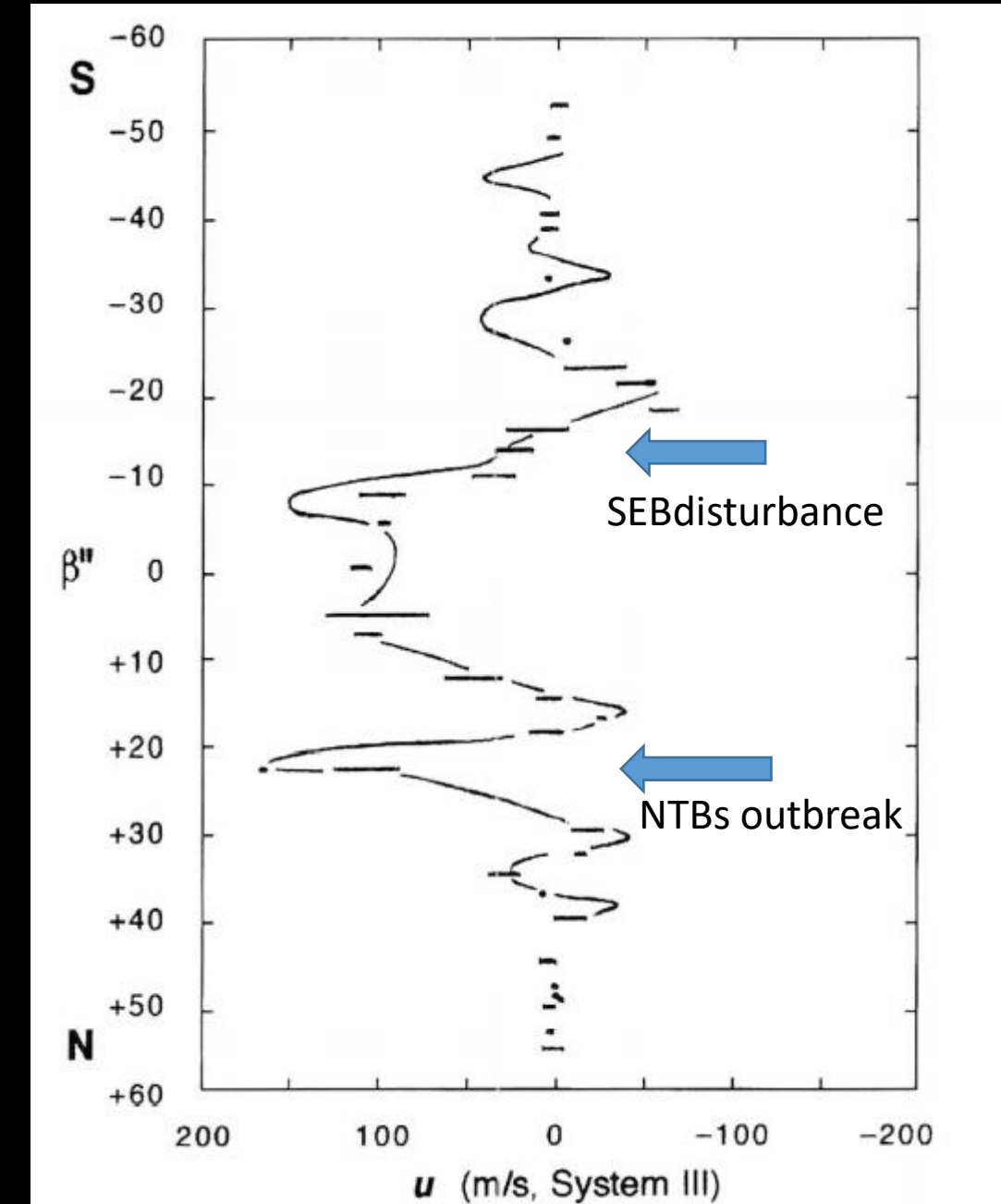
SEBDisturbance



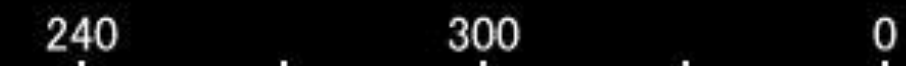
2010/11/10 09:30UT
I=330.4 II=287.0 T. Kumamori

2010/11/09 14:14UT
I=346.2 II=309.0 A. Yamazaki

2010年のSEB擾乱の初期の状態:OAA木土星課



Sys. 2



Nov. 9
Go



SEB攪乱の発達

Nov. 12
Akutsu

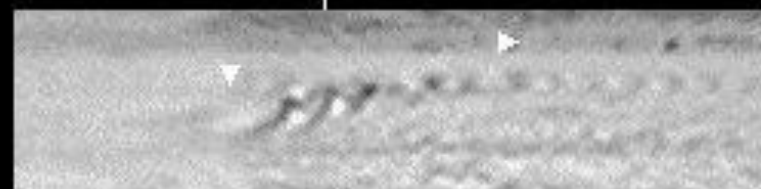


堀川 OAA 木土星課
木星面クロニクルより

Nov. 16
Akutsu



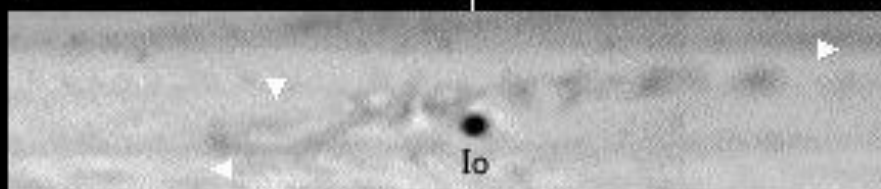
Nov. 20
Kumamori



Nov. 24
Go



Nov. 29
Kumamori



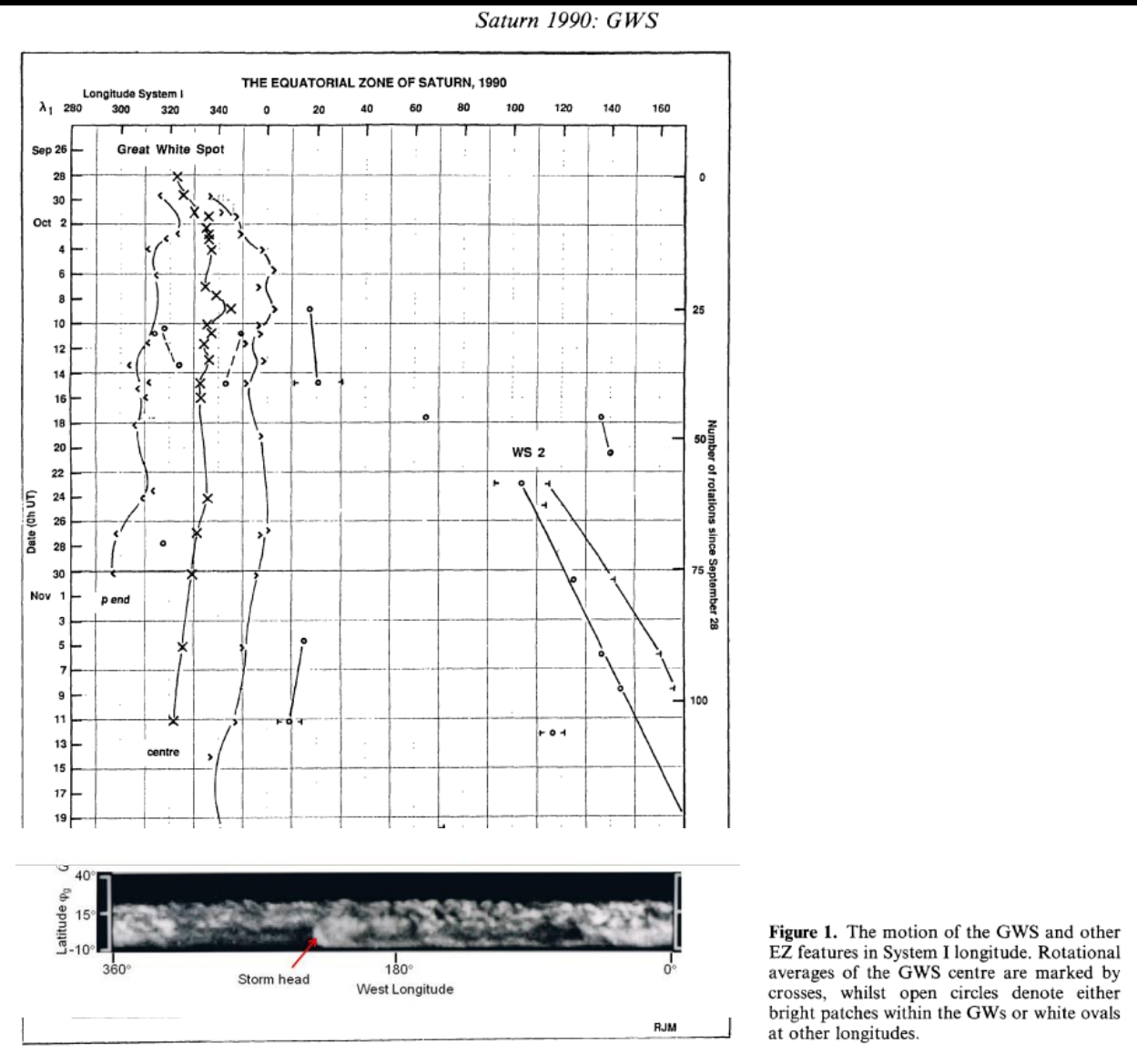


Figure 1. The motion of the GWS and other EZ features in System I longitude. Rotational averages of the GWS centre are marked by crosses, whilst open circles denote either bright patches within the GWs or white ovals at other longitudes.

1990年のEZの白斑 Heath and McKim (1992)

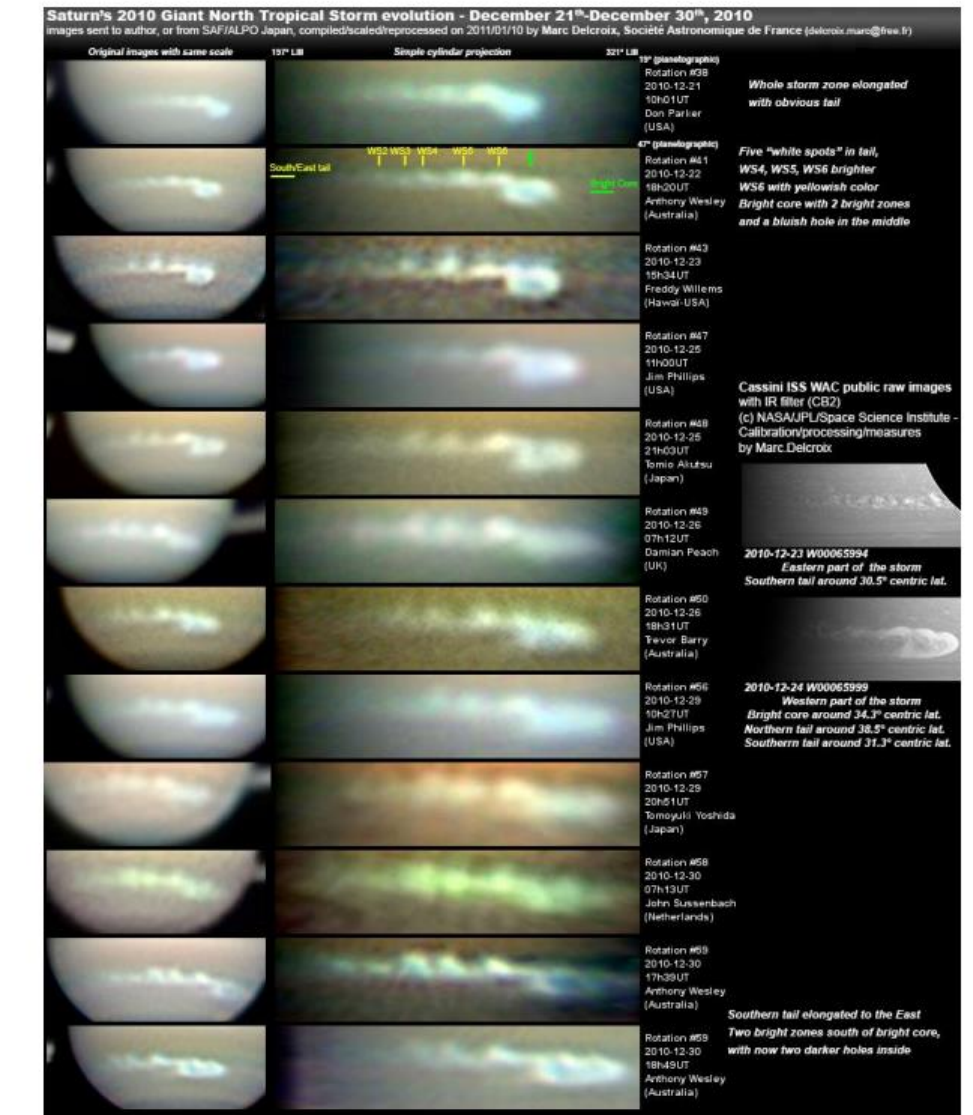
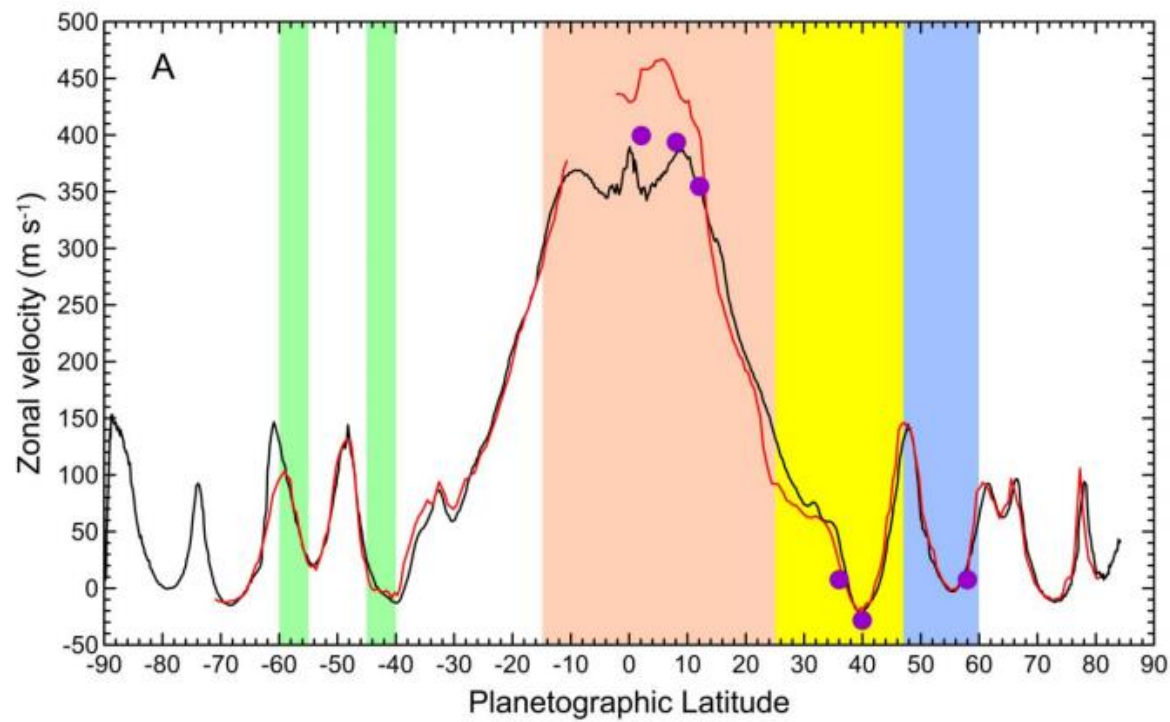
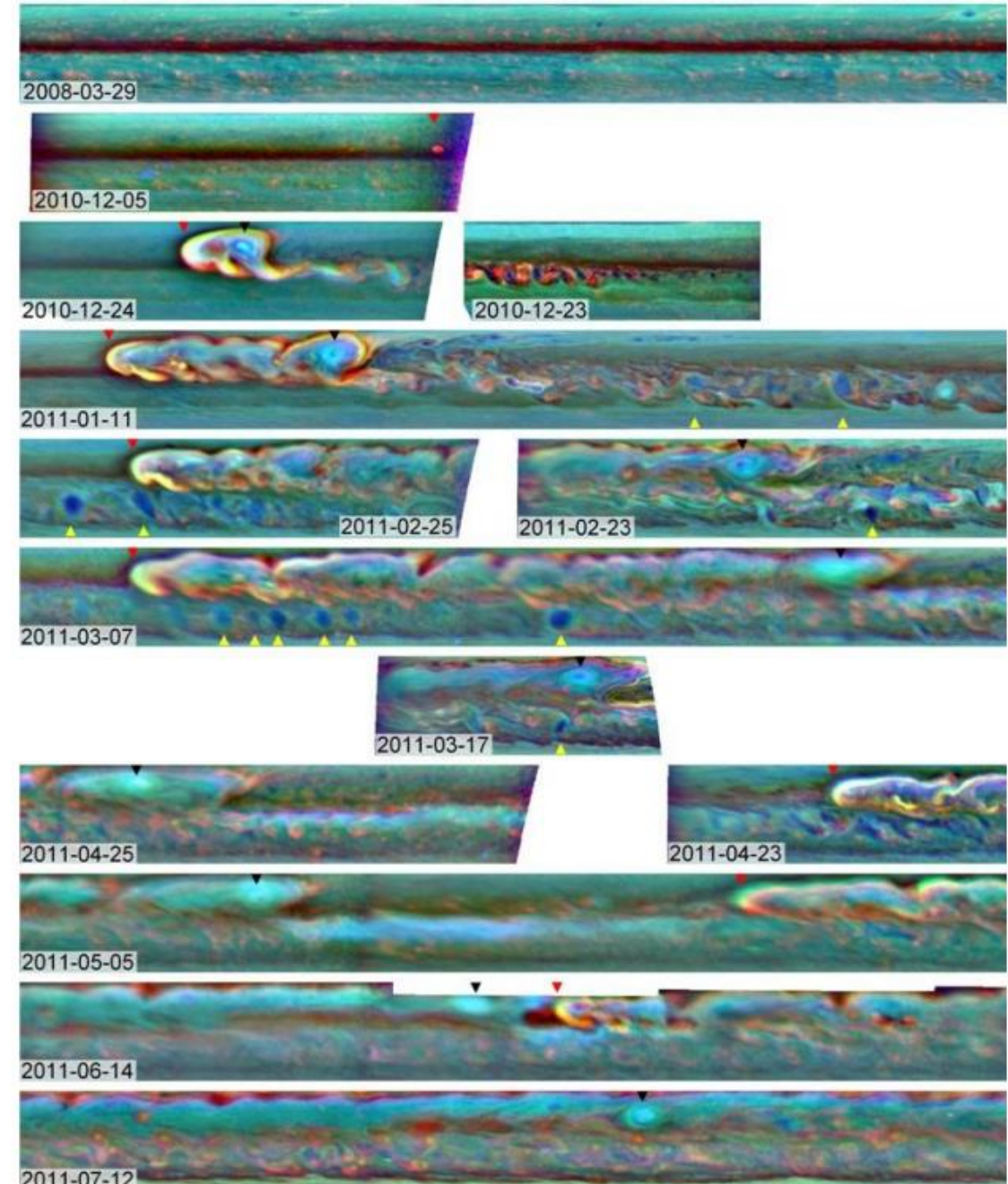


Figure 10.a: Evolution of Saturn's growing Great White Spot in 2010-11 from amateur images in scale (left), maps made from the amateur images (center) and images by Cassini spacecraft (right).

Karadasis 2014



Event	First detection	Orbital longitude	Latitude Planetographic (Planetocentric)	Velocity (ms^{-1})	Affected latitude band	Ambient vorticity (s^{-1})	Planetary vorticity (s^{-1})
GWS 1876	1876.9	170°	8°±3°N (6.5°)	396	~0° – 20°N	-4x10 ⁻⁶	4.6x10 ⁻⁵
GWS 1903	1903.5	130°	36°±2°N (30.6°)	19	~30° – 45°N	-7x10 ⁻⁶	1.8x10 ⁻⁴
GWS 1933	1933.7	134°	2°±3°N (1.6°)	400	~-5° – 20°N	2.0x10 ⁻⁵	1.1x10 ⁻⁵
GWS 1960	1960.25	106°	58°N ± 1° (52.5°)	4	48°N – 60°N [78°N]*	10 ⁻⁵	2.8x10 ⁻⁴
GWS 1990	1990.9	121°	12°N ± 1° (9.8°) [5°N ± 2°]† (4.1°)	365.0 [402.0]†	15°S – 25°N	-4x10 ⁻⁵ [2.0x10 ⁻⁶]†	6x10 ⁻⁵
GWS 2010	2010.93	16°	38°N (32.4°) [41°N ± 1°]‡ (35.2°)	-27.8	25°N – 48°N	3x10 ⁻⁶	1.9x10 ⁻⁴



NTBs outbreak

SEB 攪乱、midSEB outbreak

土星に起こる白斑

Bright Spotが内部から上ってくる（何故か固い棒！）

上って来る場所は帯状流とは関係ない

（ただし、その場所の風に乗っている。これが風速に影響を与えることはない？）

ジェットのピーク付近に上ってみると、NTBs outbreak のような振る舞いになる

ジェットの中腹に上ってみると、SEB攪乱のような振る舞いになる